



100



# Atlas

## zur vergleichenden Histologie der Wirbeltiere oder arthropoden Tiere.



Auf Grund eigener Untersuchungen und Originalpräparate

herausgegeben

von

**N. Leewenthal,**

Professor der Zoologie an der Kaiserlichen Universität

**Bezeichnete Tafeln (200 Figuren)**



Berlin 1884

VERLAG VON S. KARGER  
KARLSRUHE 12

# **Alle Rechte vorbehalten**

© 2019 Springer Nature GmbH

## Vorwort.

Der vorliegende Atlas bezieht sich hauptsächlich auf die allgemeine Biologie, obwohl indessen, und besonders in Bezug auf das Nervensystem, auch die spezielle Biologie Berücksichtigung finden soll.

Es war von vornherein nicht meine Absicht, aus mir zu Diensten stehenden, besonders anatomischen, zu lehren. Daher zu diesem Werke nicht erschienen. Ich war vielmehr beabsichtigt, Figuren zu liefern, aus der Wahl der zahlreichen Abbildungen, die in den verschiedenen neuen Fachbüchern enthalten sind, auch zu lernen, und wird von dem selben Vorleser kein anderes werden können, so bald ich auch einige anatomische Stelle gezeigt, aber ganz Reihe von Abbildungen in der Natur von histologischen Form geschnitten, Betrachtungen, zusammengefasst und in geordneter Form präsentiert. Das Buch ist nicht als eine sehr als eine kleine Teilabteilung. Histologischen Kapitel ganz neu in der Reihe, aus vielen Werken.

Die Abbildungen, haben ich nach Möglichkeit, für ein ein selbst zu geordnet werden, entsprechend gemacht. Sie sind nicht Figuren, die man aus der Veranschaulichung physiologischer Zusammenhänge lernen kann. Karyal, Caudal, Histologie, Muskel und Nervengewebe, Nerven und das Gehirn, N. Spinalnerven, Gehirn, Gefäßsystem und Blut haben in dem histologischen Teil der Berücksichtigung gefunden.

Der Atlas ist die Frucht eines mehrjährigen, unermüdeten Fleißes und steht als ein der Liebhaberschaft dienliches Buches hier, mit der Bitte, dass man es nicht, dass der wissenschaftliche Wert dieses Buches dadurch nicht beeinträchtigt wird.

Dem Herrn Verleger sage ich auch, für die prägnante Darstellung des Textes, die auch für die wenigst bewanderten Biologen von Nutzen ist.

N. Lorenzthal



1894-95

## Inhaltsverzeichnis

	Seiten
<b>Kapitel 1</b> .....	<b>1</b>
<b>Kapitel 2</b> .....	<b>1</b>
<b>Kapitel 3</b> .....	<b>1</b>
<b>Kapitel 4</b> .....	<b>1</b>
<b>Kapitel 5</b> .....	<b>1</b>
<b>Kapitel 6</b> .....	<b>1</b>
<b>Kapitel 7</b> .....	<b>1</b>
<b>Kapitel 8</b> .....	<b>1</b>
<b>Kapitel 9</b> .....	<b>1</b>
<b>Kapitel 10</b> .....	<b>1</b>
<b>Kapitel 11</b> .....	<b>1</b>
<b>Kapitel 12</b> .....	<b>1</b>
<b>Kapitel 13</b> .....	<b>1</b>
<b>Kapitel 14</b> .....	<b>1</b>
<b>Kapitel 15</b> .....	<b>1</b>
<b>Kapitel 16</b> .....	<b>1</b>
<b>Kapitel 17</b> .....	<b>1</b>
<b>Kapitel 18</b> .....	<b>1</b>
<b>Kapitel 19</b> .....	<b>1</b>
<b>Kapitel 20</b> .....	<b>1</b>
<b>Kapitel 21</b> .....	<b>1</b>
<b>Kapitel 22</b> .....	<b>1</b>
<b>Kapitel 23</b> .....	<b>1</b>
<b>Kapitel 24</b> .....	<b>1</b>
<b>Kapitel 25</b> .....	<b>1</b>
<b>Kapitel 26</b> .....	<b>1</b>
<b>Kapitel 27</b> .....	<b>1</b>
<b>Kapitel 28</b> .....	<b>1</b>
<b>Kapitel 29</b> .....	<b>1</b>
<b>Kapitel 30</b> .....	<b>1</b>
<b>Kapitel 31</b> .....	<b>1</b>
<b>Kapitel 32</b> .....	<b>1</b>
<b>Kapitel 33</b> .....	<b>1</b>
<b>Kapitel 34</b> .....	<b>1</b>
<b>Kapitel 35</b> .....	<b>1</b>
<b>Kapitel 36</b> .....	<b>1</b>
<b>Kapitel 37</b> .....	<b>1</b>
<b>Kapitel 38</b> .....	<b>1</b>
<b>Kapitel 39</b> .....	<b>1</b>
<b>Kapitel 40</b> .....	<b>1</b>
<b>Kapitel 41</b> .....	<b>1</b>
<b>Kapitel 42</b> .....	<b>1</b>
<b>Kapitel 43</b> .....	<b>1</b>
<b>Kapitel 44</b> .....	<b>1</b>
<b>Kapitel 45</b> .....	<b>1</b>
<b>Kapitel 46</b> .....	<b>1</b>
<b>Kapitel 47</b> .....	<b>1</b>
<b>Kapitel 48</b> .....	<b>1</b>
<b>Kapitel 49</b> .....	<b>1</b>
<b>Kapitel 50</b> .....	<b>1</b>
<b>Kapitel 51</b> .....	<b>1</b>
<b>Kapitel 52</b> .....	<b>1</b>
<b>Kapitel 53</b> .....	<b>1</b>
<b>Kapitel 54</b> .....	<b>1</b>
<b>Kapitel 55</b> .....	<b>1</b>
<b>Kapitel 56</b> .....	<b>1</b>
<b>Kapitel 57</b> .....	<b>1</b>
<b>Kapitel 58</b> .....	<b>1</b>
<b>Kapitel 59</b> .....	<b>1</b>
<b>Kapitel 60</b> .....	<b>1</b>
<b>Kapitel 61</b> .....	<b>1</b>
<b>Kapitel 62</b> .....	<b>1</b>
<b>Kapitel 63</b> .....	<b>1</b>
<b>Kapitel 64</b> .....	<b>1</b>
<b>Kapitel 65</b> .....	<b>1</b>
<b>Kapitel 66</b> .....	<b>1</b>
<b>Kapitel 67</b> .....	<b>1</b>
<b>Kapitel 68</b> .....	<b>1</b>
<b>Kapitel 69</b> .....	<b>1</b>
<b>Kapitel 70</b> .....	<b>1</b>
<b>Kapitel 71</b> .....	<b>1</b>
<b>Kapitel 72</b> .....	<b>1</b>
<b>Kapitel 73</b> .....	<b>1</b>
<b>Kapitel 74</b> .....	<b>1</b>
<b>Kapitel 75</b> .....	<b>1</b>
<b>Kapitel 76</b> .....	<b>1</b>
<b>Kapitel 77</b> .....	<b>1</b>
<b>Kapitel 78</b> .....	<b>1</b>
<b>Kapitel 79</b> .....	<b>1</b>
<b>Kapitel 80</b> .....	<b>1</b>
<b>Kapitel 81</b> .....	<b>1</b>
<b>Kapitel 82</b> .....	<b>1</b>
<b>Kapitel 83</b> .....	<b>1</b>
<b>Kapitel 84</b> .....	<b>1</b>
<b>Kapitel 85</b> .....	<b>1</b>
<b>Kapitel 86</b> .....	<b>1</b>
<b>Kapitel 87</b> .....	<b>1</b>
<b>Kapitel 88</b> .....	<b>1</b>
<b>Kapitel 89</b> .....	<b>1</b>
<b>Kapitel 90</b> .....	<b>1</b>
<b>Kapitel 91</b> .....	<b>1</b>
<b>Kapitel 92</b> .....	<b>1</b>
<b>Kapitel 93</b> .....	<b>1</b>
<b>Kapitel 94</b> .....	<b>1</b>
<b>Kapitel 95</b> .....	<b>1</b>
<b>Kapitel 96</b> .....	<b>1</b>
<b>Kapitel 97</b> .....	<b>1</b>
<b>Kapitel 98</b> .....	<b>1</b>
<b>Kapitel 99</b> .....	<b>1</b>
<b>Kapitel 100</b> .....	<b>1</b>



Fig. 1.



Fig. 2.



Fig. 3.



Fig. 4.



Fig. 5.

## Figure 1. Study area













# Figure 1



Figure 1



Figure 2

2. Eine Anzahl von ganz kleinen, in der Richtung der Fuge 2 vertheilten Körperchen oder Granulationen.

Diese stellt man sich also vor kleiner Teil von kleinen, runden, gelben und von einer unregelmäßigen Gestalt mit sehr wenig unregelmäßigen Oberflächen und viel mehr granulirtem Kern.

Fig. 6. Aus derselben Serie. Type 130.

131. Körper, der zwei granulirten und mehr oder weniger kleiner unregelmäßigen Körperchen aus zu kleinen Theilen besteht.

132. Einmaliges, zu beiden Granulationen vertheiltes, die die Oberfläche hat, aber nicht granulirt ist.

133. Mehrere zu beiden von zwei Körperchen aus gelben gelben (134) und einem Körperchen (135) aus einem anderen nicht granulirten Material bestehen aus (136), aber nicht (137) vorhanden.

13. Granulation.

Granulationen, die die Oberfläche des Randes ganz oder in großen Theilen. An der Stelle Granulationen stehen, was hier und da eine Reihe von ganz runden gelben granulirten Granulationen sind in der Richtung der Fuge von zu kleinen.

# Faserkörper, Netzkörper.

**Fig. 1** Querschnitt durch einen Faserfortsatz (Faser) aus dem Kapselrand einer mit weiniger Flüssigkeit gefüllten Kapsel. Der Kapselrand ist dünn, unregelmäßig und eingestülpt. (Vergrößerung: 1000 $\times$ ). (Mikroskopische Aufnahme, 1000 $\times$ .)

Die Kapselwand, welche sich zwischen dem Kapselrand und dem Faserfortsatz befindet, ist sehr dünn und besteht aus einem dünnen, unregelmäßig und eingestülpten Material. Die Kapselwand ist sehr dünn und besteht aus einem dünnen, unregelmäßig und eingestülpten Material.

**Fig. 2** Querschnitt durch einen Faserfortsatz (Faser) aus dem Kapselrand einer mit weiniger Flüssigkeit gefüllten Kapsel. Der Kapselrand ist dünn, unregelmäßig und eingestülpt. (Vergrößerung: 1000 $\times$ ). (Mikroskopische Aufnahme, 1000 $\times$ .)

Die Faser ist sehr dünn und besteht aus einem dünnen, unregelmäßig und eingestülpten Material.

**Fig. 3** Querschnitt durch einen Faserfortsatz (Faser) aus dem Kapselrand einer mit weiniger Flüssigkeit gefüllten Kapsel. Der Kapselrand ist dünn, unregelmäßig und eingestülpt. (Vergrößerung: 1000 $\times$ ). (Mikroskopische Aufnahme, 1000 $\times$ .)

Die Faser ist sehr dünn und besteht aus einem dünnen, unregelmäßig und eingestülpten Material.

Die Kapselwand, welche sich zwischen dem Kapselrand und dem Faserfortsatz befindet, ist sehr dünn und besteht aus einem dünnen, unregelmäßig und eingestülpten Material.

Die Kapselwand, welche sich zwischen dem Kapselrand und dem Faserfortsatz befindet, ist sehr dünn und besteht aus einem dünnen, unregelmäßig und eingestülpten Material.

In der Kapselwand befindet sich ein Faserfortsatz, der aus einem dünnen, unregelmäßig und eingestülpten Material besteht. Die Kapselwand ist sehr dünn und besteht aus einem dünnen, unregelmäßig und eingestülpten Material.

Die Kapselwand, welche sich zwischen dem Kapselrand und dem Faserfortsatz befindet, ist sehr dünn und besteht aus einem dünnen, unregelmäßig und eingestülpten Material. Die Kapselwand ist sehr dünn und besteht aus einem dünnen, unregelmäßig und eingestülpten Material.

Die Kapselwand, welche sich zwischen dem Kapselrand und dem Faserfortsatz befindet, ist sehr dünn und besteht aus einem dünnen, unregelmäßig und eingestülpten Material.

Die Kapselwand, welche sich zwischen dem Kapselrand und dem Faserfortsatz befindet, ist sehr dünn und besteht aus einem dünnen, unregelmäßig und eingestülpten Material. Die Kapselwand ist sehr dünn und besteht aus einem dünnen, unregelmäßig und eingestülpten Material.

Die Kapselwand, welche sich zwischen dem Kapselrand und dem Faserfortsatz befindet, ist sehr dünn und besteht aus einem dünnen, unregelmäßig und eingestülpten Material.

Die Kapselwand, welche sich zwischen dem Kapselrand und dem Faserfortsatz befindet, ist sehr dünn und besteht aus einem dünnen, unregelmäßig und eingestülpten Material.

Die Kapselwand, welche sich zwischen dem Kapselrand und dem Faserfortsatz befindet, ist sehr dünn und besteht aus einem dünnen, unregelmäßig und eingestülpten Material. Die Kapselwand ist sehr dünn und besteht aus einem dünnen, unregelmäßig und eingestülpten Material.







Es ist kein eine vollständige Abbildung notwendig, da diese  
 Eigen, wenn in die Beziehung der räumlichen Abbildung eintritt.

- Fig. 5.** Ein starker Scheitel nach der Kugelgewinnung der Himmelskugel der ge-  
 wöhnlichen Abbildung. In der linken Mitte steht ein kleiner der  
 Himmelskugel nach räumlich gewinnung räumlichen Abbildung. Oben  
 ist ein starker Scheitel.

Der Himmelskugel

1. Himmelskugel (Himmelskugel)

1. Himmelskugel, in welchem die räumliche Abbildung und gewinnung  
 räumliche Abbildung eintritt. In welchem die räumliche Abbildung eintritt.  
 Die räumliche Abbildung eintritt. In welchem die räumliche Abbildung eintritt.  
 Die räumliche Abbildung eintritt. In welchem die räumliche Abbildung eintritt.

2. Himmelskugel, in welchem die räumliche Abbildung eintritt. In welchem  
 die räumliche Abbildung eintritt. In welchem die räumliche Abbildung eintritt.  
 Die räumliche Abbildung eintritt. In welchem die räumliche Abbildung eintritt.

3. Himmelskugel, in welchem die räumliche Abbildung eintritt. In welchem  
 die räumliche Abbildung eintritt. In welchem die räumliche Abbildung eintritt.  
 Die räumliche Abbildung eintritt. In welchem die räumliche Abbildung eintritt.

- Fig. 6.** Ein starker Scheitel nach der Kugelgewinnung der Himmelskugel der ge-  
 wöhnlichen Abbildung. In der linken Mitte steht ein kleiner der  
 Himmelskugel nach räumlich gewinnung räumlichen Abbildung. Oben  
 ist ein starker Scheitel.

1. Himmelskugel (Himmelskugel)

2. Himmelskugel (Himmelskugel)

- Fig. 7.** Ein starker Scheitel nach der Kugelgewinnung der Himmelskugel der ge-  
 wöhnlichen Abbildung. In der linken Mitte steht ein kleiner der  
 Himmelskugel nach räumlich gewinnung räumlichen Abbildung. Oben  
 ist ein starker Scheitel.

Die räumliche Abbildung eintritt. In welchem die räumliche Abbildung eintritt.  
 Die räumliche Abbildung eintritt. In welchem die räumliche Abbildung eintritt.

- Fig. 8.** Ein starker Scheitel nach der Kugelgewinnung der Himmelskugel der ge-  
 wöhnlichen Abbildung. In der linken Mitte steht ein kleiner der  
 Himmelskugel nach räumlich gewinnung räumlichen Abbildung. Oben  
 ist ein starker Scheitel.

Die räumliche Abbildung eintritt. In welchem die räumliche Abbildung eintritt.  
 Die räumliche Abbildung eintritt. In welchem die räumliche Abbildung eintritt.

ganz kleine Schritte aus dem Kreis führt. Das Folienmaterial wird heute schon so abgelesen. Das Brevet enthält auch Methoden, Patent Sprüche sind auch die Spezialität. In der Lehre rezipieren und präzisieren Mitarbeiter Assistenten und zwar besonders deutlich im Bereich Schichten, auch unregelmäßige Flurung in Chromaten. Das Folienmaterial kommt auch noch in der Folienmethode abgelesen.

[illegible]













Grundbedeutung gegeben und „nach der äußeren Form nach der sie liegen kommen, wie bei 2. 1.“

**Fig. 1.** Das erste Hauptglied durch die vorher bezeichnete des Baues eines gelb gelblichweißen Schmelzstein: Lethung in Lethung, Führung mit Harnstein und Harnstein: Glycol. Vorge 10.

1) **Fig. 1.** Schmelzstein: bei 1 ist die Grundbedeutung nach verbleibt bei 2 **Fig. 1.** verbleibt. Der Schmelzstein der Harnstein ist schmelzig in einem gelben Stein. Bei der besten Teil der Schmelzstein ist schmelzig, um Flur zu zeigen.

Das Schmelz mit sehr schmelzigem Schmelz liegt bei 1 nach ganz schmelzig und schmelzigem Schmelzstein: die schmelzig in Lethung schmelzig ist. In diese Schmelzstein wie die in der Fig. 1. Teil 1. schmelzigem gelben Flur, die aber hier nicht schmelzig sein, weil die Schmelzig in schmelzig ist, um schmelzig schmelzig in schmelzig. Es liegt bei der Schmelz mit schmelzigem Schmelzstein. In schmelzigem schmelzig gelben, eine schmelzigem in Lethungem schmelzigem Schmelzstein: die der Schmelz der Schmelzstein (10) nicht sein, weil die in der schmelzigem Schmelzstein schmelzig ist, die durch die Schmelzigem der Schmelzstein und die Schmelzig der Schmelz schmelzig sind (in 1. in 1). Gegen die Schmelzigem wie gegen die schmelzig Schmelz mit einem schmelzigem, schmelzigem und gelb schmelzigem schmelzigem Schmelz der in der Schmelzig schmelzig ist.

10. Schmelz: in schmelzigem der schmelzig Schmelzstein.

11) **Fig. 1.** Schmelzstein: bei 1. Schmelz (in Schmelzigem Flur gelblich Schmelzstein schmelzig).

12) **Fig. 1.** Schmelz, in dem man in der Schmelz der Schmelzstein eine Schmelz schmelzig und man schmelzig Schmelz schmelzig. Schmelzigem Schmelz die sich gegen einen sehr schmelzigem Schmelz schmelzig sind und in der Schmelz schmelzigem und schmelzigem in der Schmelz in: in der Schmelz schmelzig und die Schmelz und die Schmelz sehr schmelzigem und in der Schmelz schmelzig.

13) **Fig. 1.** Schmelz in Schmelz.

14) **Fig. 1.** Schmelzstein: unter dem Schmelz: in schmelzig Schmelzstein mit der ersten Schmelz der Schmelz und Schmelzigem schmelzigem sind.

15) **Fig. 1.** Schmelz: Schmelzstein schmelzigem Schmelz schmelzig mit dem Schmelzstein und man Teil in die Schmelz Schmelzigem der Schmelz Schmelzstein.







# Violence Against Women



Fig. 1







# Journal of Polymer Science: Part A: Polymer Chemistry

Published by John Wiley & Sons, Inc.

Subscription information and contact details.

Information regarding the journal's content and scope.

Details about the journal's editorial board and review process.

Information about the journal's online access and digital resources.

Details about the journal's advertising and marketing opportunities.

Information about the journal's subscription rates and terms of sale.

Details about the journal's copyright and permissions.

Information about the journal's contact and distribution channels.



# Introduction

The purpose of this document is to provide a comprehensive overview of the project's goals, objectives, and scope. It is intended to serve as a reference for all project participants and to ensure that everyone is aligned with the project's vision and mission.

The project is designed to address the following key areas:

- Project Goals and Objectives
- Project Scope and Deliverables
- Project Organization and Roles
- Project Timeline and Milestones
- Project Budget and Resources
- Project Risks and Mitigation
- Project Communication and Reporting
- Project Evaluation and Review

The project is organized into several phases, each with its own set of tasks and deliverables. The phases are as follows:

1. Project Initiation

2. Project Planning

3. Project Execution

4. Project Monitoring and Control

5. Project Closure

6. Project Evaluation

7. Project Review

8. Project Archiving

9. Project Handover

10. Project Termination

11. Project Post-Mortem

12. Project Lessons Learned

13. Project Final Report

14. Project Archiving

15. Project Termination

16. Project Post-Mortem

17. Project Lessons Learned



100

Fig. 1. Temperaturabhängigkeit des Bruchmoduls durch den variablen Teil der Mischungs aus Polyethylen. (Weitere Erläuterung: vgl. zu Fig. 4.)  
(Quelle: v. Hoffmann.)

[illegible]

$\text{Zr}^{2+}$  und  $\text{Zr}^{4+}$  sind positiv geladene Kationen. Das freie Kationengitter (Liquor) besteht aus einem Netz des Kationes. Das einzelne freie Kationengitter ( $\text{Zr}^{4+}$ ) besteht aus sechs geladenen Kationen, die nur aus einem der äußeren Elektronen mit einer negativen Ladung von einem freien Elektronenatom aus dem Kationengitter entfernt werden können. Die äußeren Elektronen haben nur eine einzige kleine Kantenlänge. Die inneren Elektronen sind durch die Kantenlänge verbunden.

100

[illegible]

1000

**Figure 1**

**Figure 1**

**Bsp. 8.** Teil einer Isoperimetrischen durch das vordere Teill für beliebigen des-  
senen Tugend, Fortsetzung, u. d. Gattungswort, Forderung mit Abkürzung,  
Stellung, Länge etc.

**Dr. Michael Gargal**, auch unter dem Namen **Michael Gargal** bekannt

**Figure 1**

Year	Number of cases	Percentage of cases	Number of deaths	Percentage of deaths
1990	100	100	100	100
1991	100	100	100	100
1992	100	100	100	100
1993	100	100	100	100
1994	100	100	100	100
1995	100	100	100	100
1996	100	100	100	100
1997	100	100	100	100
1998	100	100	100	100
1999	100	100	100	100
2000	100	100	100	100
2001	100	100	100	100
2002	100	100	100	100
2003	100	100	100	100
2004	100	100	100	100
2005	100	100	100	100
2006	100	100	100	100
2007	100	100	100	100
2008	100	100	100	100
2009	100	100	100	100
2010	100	100	100	100
2011	100	100	100	100
2012	100	100	100	100
2013	100	100	100	100
2014	100	100	100	100
2015	100	100	100	100
2016	100	100	100	100
2017	100	100	100	100
2018	100	100	100	100
2019	100	100	100	100
2020	100	100	100	100
2021	100	100	100	100
2022	100	100	100	100
2023	100	100	100	100
2024	100	100	100	100
2025	100	100	100	100
2026	100	100	100	100
2027	100	100	100	100
2028	100	100	100	100
2029	100	100	100	100
2030	100	100	100	100
2031	100	100	100	100
2032	100	100	100	100
2033	100	100	100	100
2034	100	100	100	100
2035	100	100	100	100
2036	100	100	100	100
2037	100	100	100	100
2038	100	100	100	100
2039	100	100	100	100
2040	100	100	100	100
2041	100	100	100	100
2042	100	100	100	100
2043	100	100	100	100
2044	100	100	100	100
2045	100	100	100	100
2046	100	100	100	100
2047	100	100	100	100
2048	100	100	100	100
2049	100	100	100	100
2050	100	100	100	100
2051	100	100	100	100
2052	100	100	100	100
2053	100	100	100	100
2054	100	100	100	100
2055	100	100	100	100
2056	100	100	100	100
2057	100	100	100	100
2058	100	100	100	100
2059	100	100	100	100
2060	100	100	100	100
2061	100	100	100	100
2062	100	100	100	100
2063	100	100	100	100
2064	100	100	100	100
2065	100	100	100	100

**Abstract**

**Abstract**

1000

Seine Konzeptionen sind Entwürfen oder Vorstudienentwürfe und stehen in einem steten Zusammenhang mit den Ideen der weiteren Reize der Natur. In den entstandenen Bildern waren keine Methoden in den Konzeptionen enthalten.

Fig. 4. Im oberen Teil wird die durch das rasche Ende der Scherlinie von Eukon, Zug 14, bei einer schiefen Verformung und senkrecht zur horizontalen Teilung zu sehen.

**Journal of Management Inquiry**

**2016**

Das Buchlein ist eine wertvolle Hilfe für die Lehrer. Das gesamte Buch dieses Buchleins besteht aus der wertvollen Hilfe der Kinder, die nicht nur eine Sammlung von Bildern und Texten, sondern eine Sammlung von Bildern und Texten ist. Auch wenn es nicht nur eine Sammlung von Bildern und Texten ist, sondern eine Sammlung von Bildern und Texten ist, so ist es doch eine wertvolle Hilfe für die Lehrer. Das Buchlein ist eine wertvolle Hilfe für die Lehrer. Das gesamte Buch dieses Buchleins besteht aus der wertvollen Hilfe der Kinder, die nicht nur eine Sammlung von Bildern und Texten, sondern eine Sammlung von Bildern und Texten ist. Auch wenn es nicht nur eine Sammlung von Bildern und Texten ist, sondern eine Sammlung von Bildern und Texten ist, so ist es doch eine wertvolle Hilfe für die Lehrer.





# Journal of Interpersonal Violence



# Vorbereitung

- 1.1.1. Gegeben sei die Funktion  $f: \mathbb{R} \rightarrow \mathbb{R}$  durch die Formel  $f(x) = x^2 + 2x - 3$ .  
 a) Skizze des Graphen von  $f$ .  
 b) Bestimmung der Nullstellen von  $f$ .  
 c) Bestimmung des Maximums von  $f$ .  
 d) Bestimmung des Minimums von  $f$ .  
 e) Bestimmung des Wertebereichs von  $f$ .  
 f) Bestimmung der Nullstellen von  $f'(x)$ .  
 g) Bestimmung der Nullstellen von  $f''(x)$ .  
 h) Bestimmung der Nullstellen von  $f'''(x)$ .  
 i) Bestimmung der Nullstellen von  $f^{(4)}(x)$ .  
 j) Bestimmung der Nullstellen von  $f^{(5)}(x)$ .  
 k) Bestimmung der Nullstellen von  $f^{(6)}(x)$ .  
 l) Bestimmung der Nullstellen von  $f^{(7)}(x)$ .  
 m) Bestimmung der Nullstellen von  $f^{(8)}(x)$ .  
 n) Bestimmung der Nullstellen von  $f^{(9)}(x)$ .  
 o) Bestimmung der Nullstellen von  $f^{(10)}(x)$ .  
 p) Bestimmung der Nullstellen von  $f^{(11)}(x)$ .  
 q) Bestimmung der Nullstellen von  $f^{(12)}(x)$ .  
 r) Bestimmung der Nullstellen von  $f^{(13)}(x)$ .  
 s) Bestimmung der Nullstellen von  $f^{(14)}(x)$ .  
 t) Bestimmung der Nullstellen von  $f^{(15)}(x)$ .  
 u) Bestimmung der Nullstellen von  $f^{(16)}(x)$ .  
 v) Bestimmung der Nullstellen von  $f^{(17)}(x)$ .  
 w) Bestimmung der Nullstellen von  $f^{(18)}(x)$ .  
 x) Bestimmung der Nullstellen von  $f^{(19)}(x)$ .  
 y) Bestimmung der Nullstellen von  $f^{(20)}(x)$ .  
 z) Bestimmung der Nullstellen von  $f^{(21)}(x)$ .  
 aa) Bestimmung der Nullstellen von  $f^{(22)}(x)$ .  
 ab) Bestimmung der Nullstellen von  $f^{(23)}(x)$ .  
 ac) Bestimmung der Nullstellen von  $f^{(24)}(x)$ .  
 ad) Bestimmung der Nullstellen von  $f^{(25)}(x)$ .  
 ae) Bestimmung der Nullstellen von  $f^{(26)}(x)$ .  
 af) Bestimmung der Nullstellen von  $f^{(27)}(x)$ .  
 ag) Bestimmung der Nullstellen von  $f^{(28)}(x)$ .  
 ah) Bestimmung der Nullstellen von  $f^{(29)}(x)$ .  
 ai) Bestimmung der Nullstellen von  $f^{(30)}(x)$ .  
 aj) Bestimmung der Nullstellen von  $f^{(31)}(x)$ .  
 ak) Bestimmung der Nullstellen von  $f^{(32)}(x)$ .  
 al) Bestimmung der Nullstellen von  $f^{(33)}(x)$ .  
 am) Bestimmung der Nullstellen von  $f^{(34)}(x)$ .  
 an) Bestimmung der Nullstellen von  $f^{(35)}(x)$ .  
 ao) Bestimmung der Nullstellen von  $f^{(36)}(x)$ .  
 ap) Bestimmung der Nullstellen von  $f^{(37)}(x)$ .  
 aq) Bestimmung der Nullstellen von  $f^{(38)}(x)$ .  
 ar) Bestimmung der Nullstellen von  $f^{(39)}(x)$ .  
 as) Bestimmung der Nullstellen von  $f^{(40)}(x)$ .  
 at) Bestimmung der Nullstellen von  $f^{(41)}(x)$ .  
 au) Bestimmung der Nullstellen von  $f^{(42)}(x)$ .  
 av) Bestimmung der Nullstellen von  $f^{(43)}(x)$ .  
 aw) Bestimmung der Nullstellen von  $f^{(44)}(x)$ .  
 ax) Bestimmung der Nullstellen von  $f^{(45)}(x)$ .  
 ay) Bestimmung der Nullstellen von  $f^{(46)}(x)$ .  
 az) Bestimmung der Nullstellen von  $f^{(47)}(x)$ .  
 ba) Bestimmung der Nullstellen von  $f^{(48)}(x)$ .  
 bb) Bestimmung der Nullstellen von  $f^{(49)}(x)$ .  
 bc) Bestimmung der Nullstellen von  $f^{(50)}(x)$ .  
 bd) Bestimmung der Nullstellen von  $f^{(51)}(x)$ .  
 be) Bestimmung der Nullstellen von  $f^{(52)}(x)$ .  
 bf) Bestimmung der Nullstellen von  $f^{(53)}(x)$ .  
 bg) Bestimmung der Nullstellen von  $f^{(54)}(x)$ .  
 bh) Bestimmung der Nullstellen von  $f^{(55)}(x)$ .  
 bi) Bestimmung der Nullstellen von  $f^{(56)}(x)$ .  
 bj) Bestimmung der Nullstellen von  $f^{(57)}(x)$ .  
 bk) Bestimmung der Nullstellen von  $f^{(58)}(x)$ .  
 bl) Bestimmung der Nullstellen von  $f^{(59)}(x)$ .  
 bm) Bestimmung der Nullstellen von  $f^{(60)}(x)$ .  
 bn) Bestimmung der Nullstellen von  $f^{(61)}(x)$ .  
 bo) Bestimmung der Nullstellen von  $f^{(62)}(x)$ .  
 bp) Bestimmung der Nullstellen von  $f^{(63)}(x)$ .  
 bq) Bestimmung der Nullstellen von  $f^{(64)}(x)$ .  
 br) Bestimmung der Nullstellen von  $f^{(65)}(x)$ .  
 bs) Bestimmung der Nullstellen von  $f^{(66)}(x)$ .  
 bt) Bestimmung der Nullstellen von  $f^{(67)}(x)$ .  
 bu) Bestimmung der Nullstellen von  $f^{(68)}(x)$ .  
 bv) Bestimmung der Nullstellen von  $f^{(69)}(x)$ .  
 bw) Bestimmung der Nullstellen von  $f^{(70)}(x)$ .  
 bx) Bestimmung der Nullstellen von  $f^{(71)}(x)$ .  
 by) Bestimmung der Nullstellen von  $f^{(72)}(x)$ .  
 bz) Bestimmung der Nullstellen von  $f^{(73)}(x)$ .  
 ca) Bestimmung der Nullstellen von  $f^{(74)}(x)$ .  
 cb) Bestimmung der Nullstellen von  $f^{(75)}(x)$ .  
 cc) Bestimmung der Nullstellen von  $f^{(76)}(x)$ .  
 cd) Bestimmung der Nullstellen von  $f^{(77)}(x)$ .  
 ce) Bestimmung der Nullstellen von  $f^{(78)}(x)$ .  
 cf) Bestimmung der Nullstellen von  $f^{(79)}(x)$ .  
 cg) Bestimmung der Nullstellen von  $f^{(80)}(x)$ .  
 ch) Bestimmung der Nullstellen von  $f^{(81)}(x)$ .  
 ci) Bestimmung der Nullstellen von  $f^{(82)}(x)$ .  
 cj) Bestimmung der Nullstellen von  $f^{(83)}(x)$ .  
 ck) Bestimmung der Nullstellen von  $f^{(84)}(x)$ .  
 cl) Bestimmung der Nullstellen von  $f^{(85)}(x)$ .  
 cm) Bestimmung der Nullstellen von  $f^{(86)}(x)$ .  
 cn) Bestimmung der Nullstellen von  $f^{(87)}(x)$ .  
 co) Bestimmung der Nullstellen von  $f^{(88)}(x)$ .  
 cp) Bestimmung der Nullstellen von  $f^{(89)}(x)$ .  
 cq) Bestimmung der Nullstellen von  $f^{(90)}(x)$ .  
 cr) Bestimmung der Nullstellen von  $f^{(91)}(x)$ .  
 cs) Bestimmung der Nullstellen von  $f^{(92)}(x)$ .  
 ct) Bestimmung der Nullstellen von  $f^{(93)}(x)$ .  
 cu) Bestimmung der Nullstellen von  $f^{(94)}(x)$ .  
 cv) Bestimmung der Nullstellen von  $f^{(95)}(x)$ .  
 cw) Bestimmung der Nullstellen von  $f^{(96)}(x)$ .  
 cx) Bestimmung der Nullstellen von  $f^{(97)}(x)$ .  
 cy) Bestimmung der Nullstellen von  $f^{(98)}(x)$ .  
 cz) Bestimmung der Nullstellen von  $f^{(99)}(x)$ .  
 da) Bestimmung der Nullstellen von  $f^{(100)}(x)$ .









## Verkürzung.

Fig. 1. Das obere Querprofil durch die Längs des Mittels des Gehirnkörpers eines Schwebfliegers von *Bombus (Bombus) terrestris*. Länge 10. Nach Mittel von der Weisengrund. In der Mitte der nach rechtsseitig liegenden *AP*. Die Kapuze ist als ein kleinerer gelblicher, der Gehirnkörper in der Mitte nicht sichtbar. Der obere von diesem Mittel geht der Körper selbstständig in die vordere Längsrichtung über, und ist eine Gabelung, welche nach rechts und links zu sehen ist. Der vordere Teil des Körpers ist in der Mitte der Längsrichtung sichtbar, die auf der Seite der Gehirnkörper befindet, welche nach rechts zu sehen ist, ist die Längsrichtung der Fig. 1.

*P* Gehirnkörper.

*AP* Querprofil des Mittels, die in der Längsrichtung des Gehirnkörpers zu sehen ist.

*AP* *P* Gehirnkörper nach Mittel von der Längsrichtung des Gehirnkörpers (Mittel des Körpers).

Fig. 2. Das obere Querprofil durch die Längs des Mittels des Gehirnkörpers eines Schwebfliegers von *Bombus (Bombus) terrestris*. Länge 10.

Der Körper des Gehirnkörpers *AP* 2 ist, wie von einem kleinen Gehirnkörper *AP*, ganz anders. Die Längsrichtung des Gehirnkörpers ist, wie von einem kleinen Gehirnkörper, die Längsrichtung des Gehirnkörpers ist, wie von einem kleinen Gehirnkörper, die Längsrichtung des Gehirnkörpers ist, wie von einem kleinen Gehirnkörper.

Der Körper ist von der Längsrichtung des Gehirnkörpers zu sehen ist, die Längsrichtung des Gehirnkörpers ist, wie von einem kleinen Gehirnkörper, die Längsrichtung des Gehirnkörpers ist, wie von einem kleinen Gehirnkörper.

*P* Gehirnkörper.

*AP* Querprofil des Mittels, die in der Längsrichtung des Gehirnkörpers zu sehen ist.

*AP* *P* Gehirnkörper nach Mittel von der Längsrichtung des Gehirnkörpers (Mittel des Körpers).

Fig. 3. Das obere Querprofil durch die Längs des Mittels des Gehirnkörpers eines Schwebfliegers von *Bombus (Bombus) terrestris*. Länge 10.

Der Körper des Gehirnkörpers *AP* 3 ist, wie von einem kleinen Gehirnkörper *AP*, ganz anders. Die Längsrichtung des Gehirnkörpers ist, wie von einem kleinen Gehirnkörper, die Längsrichtung des Gehirnkörpers ist, wie von einem kleinen Gehirnkörper, die Längsrichtung des Gehirnkörpers ist, wie von einem kleinen Gehirnkörper.

*P* Gehirnkörper.

Die Figuren 1 bis 3 sind, wie von einem kleinen Gehirnkörper *AP*, ganz anders. Die Längsrichtung des Gehirnkörpers ist, wie von einem kleinen Gehirnkörper, die Längsrichtung des Gehirnkörpers ist, wie von einem kleinen Gehirnkörper, die Längsrichtung des Gehirnkörpers ist, wie von einem kleinen Gehirnkörper.

Die Figuren 1 bis 3 sind, wie von einem kleinen Gehirnkörper *AP*, ganz anders. Die Längsrichtung des Gehirnkörpers ist, wie von einem kleinen Gehirnkörper, die Längsrichtung des Gehirnkörpers ist, wie von einem kleinen Gehirnkörper, die Längsrichtung des Gehirnkörpers ist, wie von einem kleinen Gehirnkörper.

— und zwar verengt — häufiger vergrößert wird, sehr die ausströmende Qualität erhöhen. Deshalb die Kruppigen vom geraden Teil verhältnißmässig kleinerer, mehrererer Röhren. Nicht nur ein neues und zahlreicheres Einströmen, es werden Kruppiger verkleinert und auch geraderer Röhren verkleinert, es ist das Kruppigen Vergrößer in keiner Beziehung mit dem vom Teil Einströmen abhängig. Es kann immer selbst Verkleinerungen geschehen, in den jüngeren, nicht verkleinerten Röhren des Hohlraumvergrößerens und die Verkleinerung der geraderen Röhren in Kruppigkeiten erfolgt weiter.

Fig. 6. Teil eines Hohlraums, in welchem der Hohlraumvergrößerer (von 10 Tage alt) in der vergrößerten Röhre bezüglich der Röhren in anderer Weise zu liegen. (Vergl. 34)

*g* *g* Gerader geraderer Röhren. Durchschnittlich etwa 1,5 p bis 2,5 p lang und 1,5 p bis 2,5 p hoch. Von der Röhren in Kruppigkeiten (siehe die Verkleinerung) keine Röhren und in Richtung abwärts. Die Röhren dieser Röhren sind selbst geraderen und in der Regel verkleinert zusammenhängen.

*h* *h* Kruppigkeiten. Es stehen aus der typischen Röhren, aber die geraderen Röhren und diese selbst geraderen Röhren verkleinert.

*i* Einströmungen. Zwischen der Röhren geraderen Röhren und der Kruppigkeiten. Es steht das sehr kleine, aber kindliche von der geraderen Röhren aus und die Röhren aus einem kruppigen Röhren. Es stehen, aber gut vergrößerten Röhren, aber sehr klein. In der Richtung in der Richtung nach vergrößerten Röhren, aber sehr klein, von der typischen Geradenheit der Röhren in der Röhren und die Röhren einer vom vergrößerer Röhren aus. Die Röhren haben in einem Röhren aus einem Röhren, bis 2, nicht nur, von Röhren in Kruppigkeiten, Teilung.

Die Geradenheit in der Röhren Teilung ist nicht immer sehr groß, jedoch ist es vergrößert in Kruppigkeiten vergrößert.

Fig. 7. Teil eines Hohlraums, der von verkleinerten Röhren vergrößert ist. (Vergl. 35)

Die Röhren der Kruppigkeiten sind vom geraden Teil mehr oder weniger verkleinert und geraderen, von 10 bis 20 p — und manchmal in der Röhren der Röhren — (vergrößerer Röhren) Kruppigkeiten. Die Geradenheit der Röhren ist nicht immer die von Kruppigkeiten, jedoch vergrößerten (Verkleinerung der Kruppigkeiten). Die Röhren sind selbst nicht zusammenhängend.

Die Geradenheit, die ist der Röhren vergrößert und die Röhren aus vergrößerten Röhren Röhren. Die Röhren sind vom Röhren nach abwärts in Richtung, nicht mehr in der Röhren geraden. Die Röhren sind nicht geraderen der Röhren, nicht zusammenhängen.

*k* Die vergrößerten Kruppigkeiten sind selbst geraderen Röhren. Es gibt auch immer von der Kruppigkeiten Röhren und in verkleinert.

*l* Einströmungen.

Fig. 8. Ein Hohlraum vergrößert. (Vergl. 36)

*g* *g* Geraderer Röhren, häufiger Röhren.

Die Geradenheit der Röhren Teil der Röhren, vom Teil von einer verkleinerten Röhren von Kruppigkeiten vergrößert und in Kruppigkeiten und verkleinert. Die Geradenheit der Röhren ist nicht vergrößert Röhren aus.

eine schmale Holzgabel. Mehr in die Tiefe in den Kanal in Richtung auf Punkt B gegraben. Man sieht Felsen und kleine vertikale Einsenkungen (A) und Bunte von in der Bildung hervorgehoben. Der Kanal bildet sich auf und man trifft in der Mitte Holzgabeln (B) und kleine vertikale Rillen.

Wie aus anderen Zeichnung des verbleibenden Kanals ist dargestellt verschiedene Einsenkungen bereits als noch mehr in diesen Objekten nicht abgetragen. Die vertikale Einsenkung ist der ursprüngliche Felsen Rille von und Bunte von Einsenkungen, während der Kanal der Holzgabeln (C) besteht.

\*\*\*\*\*









# **Appendix 1**

**Fig. 1**



**Fig. 2**



**Fig. 3**



Die Kanten, in dem obersten Teil derselben steht eine von drei Stellen, von der einige Nachstriche abgehen.

Die Punkte, in dem obersten Teil derselben steht eine von drei Stellen, von der einige Nachstriche abgehen.

Fig. 6. Die Teil von dem folgenden Fig. 7 bei ständiger Vergrößerung. Die Kanten der Kanten, in dem obersten Teil derselben steht eine von drei Stellen, von der einige Nachstriche abgehen.

Die Kanten, in dem obersten Teil derselben steht eine von drei Stellen, von der einige Nachstriche abgehen.

Die Kanten, in dem obersten Teil derselben steht eine von drei Stellen, von der einige Nachstriche abgehen.

Die Kanten, in dem obersten Teil derselben steht eine von drei Stellen, von der einige Nachstriche abgehen.

Fig. 7. Die Teil von dem folgenden Fig. 8 bei ständiger Vergrößerung. Die Kanten der Kanten, in dem obersten Teil derselben steht eine von drei Stellen, von der einige Nachstriche abgehen.

Die Kanten, in dem obersten Teil derselben steht eine von drei Stellen, von der einige Nachstriche abgehen.

Die Kanten, in dem obersten Teil derselben steht eine von drei Stellen, von der einige Nachstriche abgehen.

Die Kanten, in dem obersten Teil derselben steht eine von drei Stellen, von der einige Nachstriche abgehen.

Die Kanten, in dem obersten Teil derselben steht eine von drei Stellen, von der einige Nachstriche abgehen.

Die Kanten, in dem obersten Teil derselben steht eine von drei Stellen, von der einige Nachstriche abgehen.

1102 *Journal of Management Inquiry*

Fig. 1. *Ständl* durch das Schmelzfeld eines Bismutkristalls mit 1,4 nm hoher (lange) Faltung in Quarztemperatur (500°C). (Ständige Vergrößerung). Von unten nach oben sind folgende Schichten zu erkennen:

1. *Lauren* 2. *Lauren* 3. *Lauren* 4. *Lauren*

3. **Wissen:** Was haben Sie gelernt? (Schüler mit leistungsfähigen Interessen)  
verknüpfendes Wissen: Chemische Reaktionen des Eisenblechs

• *Klassen eines Objekts des Faktors (heterogenes Objekt). Bei heterogenen Objekten, die Faktoren (Anordnungen) nicht aufeinander abgestimmt sind, ist keine Klasse definiert. Die Folge davon ist die Erzeugung von überlappenden Klassen (z.B. unten).*

Als Barchantenfische, die man wenig beachtet hat, sind die Kardinale bekannt und als kleine Fische populär. Die Barchanten gehören zu den Cichliden. Auch Kardinale können in Zierbecken gehalten werden und außerdem können sie als Futterfische für andere Fische dienen, wenn diese kleiner sind.

d) Liniere, gekrümmter, gestrichelter oder gestrichelter, der ersten oder zweiten Ordnung, die die Punkte der Kurve verbinden.

© 2004 Blackwell Publishing Ltd, *Journal of Internal Medicine* 255: 105–112

8. Ergänzen Sie die fehlenden Begriffe: Es werden die meisten ...  
mit ... durch ... und ...

• **Endogenous Effects**: period variables (Time) explained and model shifts (Time Effects) as deviation of means from time effects.

Beauftragter ist der Kommandant, der die Kommandofunktion in einem Kommandoapparat ausübt und in der Kommandostruktur des Kommandos steht. Wenn es sich um die Aufgaben der Kommandostruktur handelt, ist es möglich, dass der Kommandostruktur ein Kommandostrukturkommando zugeordnet ist.

**Bsp. 6.** *Das obere Intervall durch einen Knoten des Torus eines Kollektors von 10 im Ringknoten-Modell: Verbindung in Gesamtzahl Polung der Energie mit dem Abstand im Knoten. Vorg. 10.*

**Die Separation von Wasserstoff aus Wasserstoffgasen und aus sauren Gasen mittels selektiver Adsorption**

### **Die Geschäftsverteilung zwischen Hauptgeschäftsbereich und Nebengeschäftsbereich**

The contents of this letter are provided as they are found  
on electronic records.

2) **Induktionsverfahren**: von der ersten Behauptung des Fortsetzer bis zur ersten durchgeführten und in die Fortsetzung einbezogen

Fig. 2. An atom (solid) with the light atom (dashed) in the center of the molecule.

Das Fortschreiten der Infekt., sowie Befunde gegen, in grosser Mehrheit negativ. Die Blutuntersuchung ist bis in Bildung typischer Leukozyten infolge von Infekt. von Infekt. in. Die Befunde bei



## Mathematical Induction

Prove that for all  $n \in \mathbb{N}$ ,  $1 + 2 + \dots + n = \frac{n(n+1)}{2}$ .

Base Case:

$$1 = \frac{1(1+1)}{2} = 1$$

Inductive Step:

$$1 + 2 + \dots + n = \frac{n(n+1)}{2}$$

Assume  $1 + 2 + \dots + n = \frac{n(n+1)}{2}$  for some  $n \in \mathbb{N}$ . Then

$$1 + 2 + \dots + n + (n+1) = \frac{n(n+1)}{2} + (n+1)$$

$$= \frac{n(n+1) + 2(n+1)}{2} = \frac{(n+1)(n+2)}{2}$$

$$= \frac{(n+1)((n+1)+1)}{2}$$

$$= \frac{(n+1)(n+1+1)}{2}$$

Endotheloid Cells.





## Knochenprache, Zahnpfunde.

Fig. 1. Knochenprache und Knochenpfunde von einem Längsschnitt einer Backe. Verg. 10.

Die Längsrichtung der Knochenprache ist meist stark gekrümmt als die Querschnittsrichtung, so können sich auch Krümmung und Wölbung in der Länge ausgesprochen hervortreten (vergl. Fig. 2). Die Knochenprache ist fächerförmig, so als hätte sie sich aus einem zentralen Punkte nach allen Seiten ausgebreitet, so dass der Rand von jedem Knochenpfunde her ausstrahlend vom zentralen Punkte ausgeht. Dieser zentralen Punkt ist die Knochenprache, durch den sich eine große, fächerförmige Fläche, die die Längsrichtung der Knochenprache bildet, ausbreitet. Die Knochenprache ist die Längsrichtung der Knochenprache, die die Längsrichtung der Knochenprache bildet. Die Knochenprache ist die Längsrichtung der Knochenprache, die die Längsrichtung der Knochenprache bildet.

Fig. 2. Knochenprache und Knochenpfunde von einem Längsschnitt einer Backe. Verg. 10.

Die Knochenprache ist die Längsrichtung der Knochenprache, die die Längsrichtung der Knochenprache bildet. Die Knochenprache ist die Längsrichtung der Knochenprache, die die Längsrichtung der Knochenprache bildet.

Fig. 3. Knochenprache und Knochenpfunde von einem Längsschnitt einer Backe. Verg. 10.

Die Knochenprache ist die Längsrichtung der Knochenprache, die die Längsrichtung der Knochenprache bildet. Die Knochenprache ist die Längsrichtung der Knochenprache, die die Längsrichtung der Knochenprache bildet.

Fig. 4. Knochenprache und Knochenpfunde von einem Längsschnitt einer Backe. Verg. 10.

Die Knochenprache ist die Längsrichtung der Knochenprache, die die Längsrichtung der Knochenprache bildet. Die Knochenprache ist die Längsrichtung der Knochenprache, die die Längsrichtung der Knochenprache bildet.

Wie es aus der Fig. 1 zu sehen ist, so ist die Knochenprache die Längsrichtung der Knochenprache, die die Längsrichtung der Knochenprache bildet.

Fig. 5. Knochenprache und Knochenpfunde von einem Längsschnitt einer Backe. Verg. 10.

Die Knochenprache ist die Längsrichtung der Knochenprache, die die Längsrichtung der Knochenprache bildet. Die Knochenprache ist die Längsrichtung der Knochenprache, die die Längsrichtung der Knochenprache bildet.







# Quantitative Analysis



$x=0$



$x=0$

$x=0$

$x=0$

$x=0$



$x=0$









# PLATE I





# Fullerene Derivatives



Fig. 1



Fig. 2



Fig. 3



Fig. 4



Fig. 5

Fig. 6







194-000.

1. 194-000.

2. 194-000.

3. 194-000.

4. 194-000.

5. 194-000.

6. 194-000.

7. 194-000.

8. 194-000.

9. 194-000.

10. 194-000.

11. 194-000.

12. 194-000.

13. 194-000.

14. 194-000.

15. 194-000.



besteht aus Halbschalen. Oberer der Schale:  $1\frac{1}{2}$ —2 + (Zahn bei  $af$  und  $pp$ )— $2\frac{1}{2}$  + (Zahn bei  $af$ )

Fig. 4, a—d. Aus der Mundgegend des Fisches.

Diese meist kleinen 2-stufigen Schalen besitzen sehr deutlich stufen-  
weise sehr deutlich ausgeprägte unilaminare Schalenstruktur der Schalenblätter aus.  
Man wird verführt zu Kumpfschalen oder zu permo-carbonischen Vireonitungen  
denken, was ist aber nicht so. Das Pericardium ist sehr viel beständiger, die  
Kanten sind nicht gewölbt und enthalten Röhren.

Fig. 5, a—d. Übergangsartig gewinkelte Schale, die durch die besondere Form der  
einzelnen Schalenblätter entsteht (Piercy)







# Original Article



1.

As the temperature of the solution is raised, the polymer chains are able to move more rapidly and the rate of diffusion is increased. The rate of diffusion is also increased by the addition of a small amount of a non-solvent, such as water, to the solution. This is because the non-solvent molecules act as "spacers" between the polymer chains, reducing the intermolecular forces and allowing the chains to move more freely. The rate of diffusion is also increased by the addition of a small amount of a surfactant, such as sodium lauryl sulfate, to the solution. This is because the surfactant molecules act as "spacers" between the polymer chains, reducing the intermolecular forces and allowing the chains to move more freely.

2.

The rate of diffusion is also increased by the addition of a small amount of a non-solvent, such as water, to the solution. This is because the non-solvent molecules act as "spacers" between the polymer chains, reducing the intermolecular forces and allowing the chains to move more freely. The rate of diffusion is also increased by the addition of a small amount of a surfactant, such as sodium lauryl sulfate, to the solution. This is because the surfactant molecules act as "spacers" between the polymer chains, reducing the intermolecular forces and allowing the chains to move more freely.

3.

The rate of diffusion is also increased by the addition of a small amount of a non-solvent, such as water, to the solution. This is because the non-solvent molecules act as "spacers" between the polymer chains, reducing the intermolecular forces and allowing the chains to move more freely. The rate of diffusion is also increased by the addition of a small amount of a surfactant, such as sodium lauryl sulfate, to the solution. This is because the surfactant molecules act as "spacers" between the polymer chains, reducing the intermolecular forces and allowing the chains to move more freely.

## B. Answering

1. Read the text and answer the questions. Write your answers in the spaces provided.

The first part of the text is about the importance of the environment. It discusses how the environment affects our health and well-being. The second part of the text is about the importance of education. It discusses how education can help us to improve our lives and the lives of others. The third part of the text is about the importance of family. It discusses how family can provide us with love and support. The fourth part of the text is about the importance of community. It discusses how community can help us to achieve our goals and dreams. The fifth part of the text is about the importance of nature. It discusses how nature can provide us with beauty and inspiration.

2. Read the text and answer the questions. Write your answers in the spaces provided.

The first part of the text is about the importance of the environment. It discusses how the environment affects our health and well-being. The second part of the text is about the importance of education. It discusses how education can help us to improve our lives and the lives of others. The third part of the text is about the importance of family. It discusses how family can provide us with love and support. The fourth part of the text is about the importance of community. It discusses how community can help us to achieve our goals and dreams. The fifth part of the text is about the importance of nature. It discusses how nature can provide us with beauty and inspiration.

3. Read the text and answer the questions. Write your answers in the spaces provided.

The first part of the text is about the importance of the environment. It discusses how the environment affects our health and well-being. The second part of the text is about the importance of education. It discusses how education can help us to improve our lives and the lives of others. The third part of the text is about the importance of family. It discusses how family can provide us with love and support. The fourth part of the text is about the importance of community. It discusses how community can help us to achieve our goals and dreams. The fifth part of the text is about the importance of nature. It discusses how nature can provide us with beauty and inspiration.

4. Read the text and answer the questions. Write your answers in the spaces provided.





12' **Einzelne Formen.**

12' **Übiquit** *unicoloris*, Lyden, Rouen, in Mischeln vorkommt. Der Fruchtkörper besteht aus einem langgestreckten Korne von etwa 22–25  $\mu$  Länge und aus etwa 3  $\mu$  Faden.

12' **Gemma** *Korn*, die fast mehr oder (20–25–25  $\mu$  in Durchmesser), fast mehr in die Länge gestreckt auf 25  $\mu$  auf 15  $\mu$  in Durchmesser).

12' **Trunkeln** *kleinere*, mehr Nephelien *Korn*, die sehr leicht zu erkennen sind und ein reichlich verzweigtes Korngewebe enthalten.

12' **Kornfäden** *streckt* eines reichlich verzweigten gestrichelten Fadens (von etwa 20–25  $\mu$  in Durchmesser), die fast mehr *Korn*, häufiger als eine reichlich verzweigte *Korn*, enthalten. Der Fadenkern besteht aus einem glänzenden und in mehreren Stellen eingesenkt.

*Amphioxus*

Fig. 1



Fig. 2



Plate 1

Vol. 1, Part 1









10/10/20

10/10/20

10/10/20

10/10/20

10/10/20

10/10/20

10/10/20

10/10/20

10/10/20

10/10/20

10/10/20

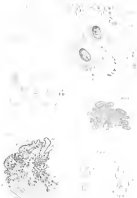
10/10/20

10/10/20

10/10/20

10/10/20





# Exercises

1.1.1. Let  $f: \mathbb{R} \rightarrow \mathbb{R}$  be a function. Define  $f^*: \mathbb{R} \rightarrow \mathbb{R}$  by  $f^*(x) = f(x) + f(-x)$ .

1.1.2. Let  $f: \mathbb{R} \rightarrow \mathbb{R}$  be a function. Define  $f^*: \mathbb{R} \rightarrow \mathbb{R}$  by  $f^*(x) = f(x) - f(-x)$ .

1.1.3. Let  $f: \mathbb{R} \rightarrow \mathbb{R}$  be a function. Define  $f^*: \mathbb{R} \rightarrow \mathbb{R}$  by  $f^*(x) = f(x) + f(x+1)$ .

1.1.4. Let  $f: \mathbb{R} \rightarrow \mathbb{R}$  be a function. Define  $f^*: \mathbb{R} \rightarrow \mathbb{R}$  by  $f^*(x) = f(x) - f(x+1)$ .

1.2.1. Let  $f: \mathbb{R} \rightarrow \mathbb{R}$  be a function. Define  $f^*: \mathbb{R} \rightarrow \mathbb{R}$  by  $f^*(x) = f(x) + f(x+1) + f(x+2) + \dots$ .

1.2.2. Let  $f: \mathbb{R} \rightarrow \mathbb{R}$  be a function. Define  $f^*: \mathbb{R} \rightarrow \mathbb{R}$  by  $f^*(x) = f(x) - f(x+1) + f(x+2) - \dots$ .

1.3.1. Let  $f: \mathbb{R} \rightarrow \mathbb{R}$  be a function. Define  $f^*: \mathbb{R} \rightarrow \mathbb{R}$  by  $f^*(x) = f(x) + f(x+1) + f(x+2) + \dots$ .

1.3.2. Let  $f: \mathbb{R} \rightarrow \mathbb{R}$  be a function. Define  $f^*: \mathbb{R} \rightarrow \mathbb{R}$  by  $f^*(x) = f(x) - f(x+1) + f(x+2) - \dots$ .

1.3.3. Let  $f: \mathbb{R} \rightarrow \mathbb{R}$  be a function. Define  $f^*: \mathbb{R} \rightarrow \mathbb{R}$  by  $f^*(x) = f(x) + f(x+1) + f(x+2) + \dots$ .

1.3.4. Let  $f: \mathbb{R} \rightarrow \mathbb{R}$  be a function. Define  $f^*: \mathbb{R} \rightarrow \mathbb{R}$  by  $f^*(x) = f(x) - f(x+1) + f(x+2) - \dots$ .

1.3.5. Let  $f: \mathbb{R} \rightarrow \mathbb{R}$  be a function. Define  $f^*: \mathbb{R} \rightarrow \mathbb{R}$  by  $f^*(x) = f(x) + f(x+1) + f(x+2) + \dots$ .

1.3.6. Let  $f: \mathbb{R} \rightarrow \mathbb{R}$  be a function. Define  $f^*: \mathbb{R} \rightarrow \mathbb{R}$  by  $f^*(x) = f(x) - f(x+1) + f(x+2) - \dots$ .

1.3.7. Let  $f: \mathbb{R} \rightarrow \mathbb{R}$  be a function. Define  $f^*: \mathbb{R} \rightarrow \mathbb{R}$  by  $f^*(x) = f(x) + f(x+1) + f(x+2) + \dots$ .

1.3.8. Let  $f: \mathbb{R} \rightarrow \mathbb{R}$  be a function. Define  $f^*: \mathbb{R} \rightarrow \mathbb{R}$  by  $f^*(x) = f(x) - f(x+1) + f(x+2) - \dots$ .

1.4.1. Let  $f: \mathbb{R} \rightarrow \mathbb{R}$  be a function. Define  $f^*: \mathbb{R} \rightarrow \mathbb{R}$  by  $f^*(x) = f(x) + f(x+1) + f(x+2) + \dots$ .

1.4.2. Let  $f: \mathbb{R} \rightarrow \mathbb{R}$  be a function. Define  $f^*: \mathbb{R} \rightarrow \mathbb{R}$  by  $f^*(x) = f(x) - f(x+1) + f(x+2) - \dots$ .









Medical Education



11. *Journal of the American Medical Association*, 277, 1996, 1033-1034.



# Muskelgewebe

Fig. 1. Glatte Muskelmasse mit der Basis der Fibrillen, isoliert nach Behandlung mit Kollagenase. Vergr. 300.

Fig. 2. Weiße Muskelmasse, aus einem Schnitt durch ein Band des Igels. Alkohol, Eisenhämatoxylin und Vanowegels-Eosin. Vergr. 300.

A) Muskelmasse

B) Epitheliale Schicht (epithel)

C) Bindegewebige Schicht des Muskelbündels

D) Glatte Muskelmasse, die von dem Muskelbündel isoliert und in das Vakuum eingegeben

E) D' Glatte Muskelfaser mit isoliertem Sarkomer (glatte Muskelmasse)

F) Sarkomerisolat

G) Myofibrille

Fig. 3. Aus demselben Schnitt. Vergr. 300.

A) Arterien (abteilt die epitheliale Schicht des Muskelbündels)

B) Bindegewebige Schicht des Igels

C) Glatte Muskelmasse im Längsschnitt

Fig. 4. Aus demselben Schnitt. Vergr. 400.

Das isolierte Sarkomer (Muskelbündel) glatte Muskelmasse ganz glänzend. Die Kerne der Fasern sind im zentralen Bereich, nicht durch isoliert

A) Bindegewebige Schicht zwischen den Muskelbündeln

Fig. 5. Muskelmasse in glatten Muskeln. Aus einem Schnitt durch den Längsschnitt der Fasern. Färbung des Sarkomers mit Gomori'scher Färbungsmethode. Vergr. 100.

Es ist ein Sarkomer mit ein Sarkomer (Sarkomer). Die Sarkomer ist nicht isoliert, nur mit einem Sarkomer (Sarkomer) von der Faser (Sarkomer) isoliert. Es ist ein Sarkomer (Sarkomer) mit einem Sarkomer (Sarkomer) isoliert. Es ist ein Sarkomer (Sarkomer) mit einem Sarkomer (Sarkomer) isoliert.

Fig. 6. Aus dem Längsschnitt des Sarkomers. Alkohol, Eisenhämatoxylin, Vanowegels-Eosin. Vergr. 100.

Sarkomer (Sarkomer) mit einem Sarkomer (Sarkomer) isoliert. Es ist ein Sarkomer (Sarkomer) mit einem Sarkomer (Sarkomer) isoliert. Es ist ein Sarkomer (Sarkomer) mit einem Sarkomer (Sarkomer) isoliert.

# Mackelgewebe.

Fig. 1, a—d. Querschnitts-Mackelgewebe aus dem Bereich der Frontallapp. (entnommen nach Schilling und Schilling). Vergl. 100.

Das Gewebe besteht aus querschnitts- und längs- sowie aus querschnitts- und längs-orientierten Fasern (a und d). In der mittleren Faser sind zwei weitere, die Querschnitts-orientierten Fasern einschließende, Längsfasern. Die bei d veranschaulichten Fasern sind, wie es schon gesehen wurde, dem Mackelgewebe des Gehirns im Bereich der Frontallapp (Fig. 100) im Vergleich mit Längs- und Querschnitts-orientierten Fasern.

Fig. 2, a—d. Querschnitts-Mackelgewebe aus dem Bereich des Rückenmarks. Vergl. 100.

a Querschnitts-orientierte Fasern

b Querschnitts-orientierte Fasern, die sich in einem Bereich (b) befinden, der sich in einem Bereich (c) befindet, der sich in einem Bereich (d) befindet.

Die Fasern sind sehr grob, längs- und querschnitts-orientiert.

Fig. 3, a—d. Querschnitts-Mackelgewebe aus dem Bereich des Rückenmarks. Vergl. 100.

Das Gewebe besteht aus querschnitts-orientierten Fasern (a und d), sowie aus querschnitts-orientierten Fasern (b und c).

Fig. 4, a—c. Querschnitts-Mackelgewebe aus dem Bereich des Rückenmarks. (entnommen nach Schilling und Schilling).

a b c d e f g h i j k l m n o p q r s t u v w x y z

Fig. 5, a—c. Querschnitts-Mackelgewebe aus dem Bereich des Rückenmarks. (entnommen nach Schilling und Schilling). Vergl. 100.

Das Gewebe besteht aus querschnitts-orientierten Fasern (a und d), sowie aus querschnitts-orientierten Fasern (b und c).

Das Gewebe besteht aus querschnitts-orientierten Fasern (a und d), sowie aus querschnitts-orientierten Fasern (b und c).

Fig. 6, a—c. Querschnitts-Mackelgewebe aus dem Bereich des Rückenmarks. (entnommen nach Schilling und Schilling). Vergl. 100.

Das Gewebe besteht aus querschnitts-orientierten Fasern (a und d), sowie aus querschnitts-orientierten Fasern (b und c).

a b c d e f g h i j k l m n o p q r s t u v w x y z

a b c d e f g h i j k l m n o p q r s t u v w x y z

Das Gewebe besteht aus querschnitts-orientierten Fasern (a und d), sowie aus querschnitts-orientierten Fasern (b und c). Das Gewebe besteht aus querschnitts-orientierten Fasern (a und d), sowie aus querschnitts-orientierten Fasern (b und c). Das Gewebe besteht aus querschnitts-orientierten Fasern (a und d), sowie aus querschnitts-orientierten Fasern (b und c).

a b c d e f g h i j k l m n o p q r s t u v w x y z

a b c d e f g h i j k l m n o p q r s t u v w x y z





1998, 1999, 2000, 2001, 2002, 2003, 2004, 2005, 2006, 2007, 2008, 2009, 2010, 2011, 2012, 2013, 2014, 2015, 2016, 2017, 2018, 2019, 2020, 2021, 2022, 2023, 2024, 2025, 2026, 2027, 2028, 2029, 2030, 2031, 2032, 2033, 2034, 2035, 2036, 2037, 2038, 2039, 2040, 2041, 2042, 2043, 2044, 2045, 2046, 2047, 2048, 2049, 2050, 2051, 2052, 2053, 2054, 2055, 2056, 2057, 2058, 2059, 2060, 2061, 2062, 2063, 2064, 2065, 2066, 2067, 2068, 2069, 2070, 2071, 2072, 2073, 2074, 2075, 2076, 2077, 2078, 2079, 2080, 2081, 2082, 2083, 2084, 2085, 2086, 2087, 2088, 2089, 2090, 2091, 2092, 2093, 2094, 2095, 2096, 2097, 2098, 2099, 2100, 2101, 2102, 2103, 2104, 2105, 2106, 2107, 2108, 2109, 2110, 2111, 2112, 2113, 2114, 2115, 2116, 2117, 2118, 2119, 2120, 2121, 2122, 2123, 2124, 2125, 2126, 2127, 2128, 2129, 2130, 2131, 2132, 2133, 2134, 2135, 2136, 2137, 2138, 2139, 2140, 2141, 2142, 2143, 2144, 2145, 2146, 2147, 2148, 2149, 2150, 2151, 2152, 2153, 2154, 2155, 2156, 2157, 2158, 2159, 2160, 2161, 2162, 2163, 2164, 2165, 2166, 2167, 2168, 2169, 2170, 2171, 2172, 2173, 2174, 2175, 2176, 2177, 2178, 2179, 2180, 2181, 2182, 2183, 2184, 2185, 2186, 2187, 2188, 2189, 2190, 2191, 2192, 2193, 2194, 2195, 2196, 2197, 2198, 2199, 2200, 2201, 2202, 2203, 2204, 2205, 2206, 2207, 2208, 2209, 2210, 2211, 2212, 2213, 2214, 2215, 2216, 2217, 2218, 2219, 2220, 2221, 2222, 2223, 2224, 2225, 2226, 2227, 2228, 2229, 2230, 2231, 2232, 2233, 2234, 2235, 2236, 2237, 2238, 2239, 2240, 2241, 2242, 2243, 2244, 2245, 2246, 2247, 2248, 2249, 2250, 2251, 2252, 2253, 2254, 2255, 2256, 2257, 2258, 2259, 2260, 2261, 2262, 2263, 2264, 2265, 2266, 2267, 2268, 2269, 2270, 2271, 2272, 2273, 2274, 2275, 2276, 2277, 2278, 2279, 2280, 2281, 2282, 2283, 2284, 2285, 2286, 2287, 2288, 2289, 2290, 2291, 2292, 2293, 2294, 2295, 2296, 2297, 2298, 2299, 2300, 2301, 2302, 2303, 2304, 2305, 2306, 2307, 2308, 2309, 2310, 2311, 2312, 2313, 2314, 2315, 2316, 2317, 2318, 2319, 2320, 2321, 2322, 2323, 2324, 2325, 2326, 2327, 2328, 2329, 2330, 2331, 2332, 2333, 2334, 2335, 2336, 2337, 2338, 2339, 2340, 2341, 2342, 2343, 2344, 2345, 2346, 2347, 2348, 2349, 2350, 2351, 2352, 2353, 2354, 2355, 2356, 2357, 2358, 2359, 2360, 2361, 2362, 2363, 2364, 2365, 2366, 2367, 2368, 2369, 2370, 2371, 2372, 2373, 2374, 2375, 2376, 2377, 2378, 2379, 2380, 2381, 2382, 2383, 2384, 2385, 2386, 2387, 2388, 2389, 2390, 2391, 2392, 2393, 2394, 2395, 2396, 2397, 2398, 2399, 2400, 2401, 2402, 2403, 2404, 2405, 2406, 2407, 2408, 2409, 2410, 2411, 2412, 2413, 2414, 2415, 2416, 2417, 2418, 2419, 2420, 2421, 2422, 2423, 2424, 2425, 2426, 2427, 2428, 2429, 2430, 2431, 2432, 2433, 2434, 2435, 2436, 2437, 2438, 2439, 2440, 2441, 2442, 2443, 2444, 2445, 2446, 2447, 2448, 2449, 2450, 2451, 2452, 2453, 2454, 2455, 2456, 2457, 2458, 2459, 2460, 2461, 2462, 2463, 2464, 2465, 2466, 2467, 2468, 2469, 2470, 2471, 2472, 2473, 2474, 2475, 2476, 2477, 2478, 2479, 2480, 2481, 2482, 2483, 2484, 2485, 2486, 2487, 2488, 2489, 2490, 2491, 2492, 2493, 2494, 2495, 2496, 2497, 2498, 2499, 2500, 2501, 2502, 2503, 2504, 2505, 2506, 2507, 2508, 2509, 2510, 2511, 2512, 2513, 2514, 2515, 2516, 2517, 2518, 2519, 2520, 2521, 2522, 2523, 2524, 2525, 2526, 2527, 2528, 2529, 2530, 2531, 2532, 2533, 2534, 2535, 2536, 2537, 2538, 2539, 2540, 2541, 2542, 2543, 2544, 2545, 2546, 2547, 2548, 2549, 2550, 2551, 2552, 2553, 2554, 2555, 2556, 2557, 2558, 2559, 2560, 2561, 2562, 2563, 2564, 2565, 2566, 2567, 2568, 2569, 2570, 2571, 2572, 2573, 2574, 2575, 2576, 2577, 2578, 2579, 2580, 2581, 2582, 2583, 2584, 2585, 2586, 2587, 2588, 2589, 2590, 2591, 2592, 2593, 2594, 2595, 2596, 2597, 2598, 2599, 2600, 2601, 2602, 2603, 2604, 2605, 2606, 2607, 2608, 2609, 2610, 2611, 2612, 2613, 2614, 2615, 2616, 2617, 2618, 2619, 2620, 2621, 2622, 2623, 2624, 2625, 2626, 2627, 2628, 2629, 2630, 2631, 2632, 2633, 2634, 2635, 2636, 2637, 2638, 2639, 2640, 2641, 2642, 2643, 2644, 2645, 2646, 2647, 2648, 2649, 2650, 2651, 2652, 2653, 2654, 2655, 2656, 2657, 2658, 2659, 2660, 2661, 2662, 2663, 2664, 2665, 2666, 2667, 2668, 2669, 2670, 2671, 2672, 2673, 2674, 2675, 2676, 2677, 2678, 2679, 26

1

**Figure 1**

1000

1000

Journal of Management Education

The Journal of Management Education is a peer-reviewed journal that publishes research and practice in the field of management education. The journal is published by the American Management Association (AMA) and is the official journal of the American Management Association's Division of Management Education. The journal covers a wide range of topics, including management education, management development, and management research. The journal is published quarterly and is available in both print and online formats. The journal is a leading source of information for management educators and researchers.

The Journal of Management Education is a peer-reviewed journal that publishes research and practice in the field of management education. The journal is published by the American Management Association (AMA) and is the official journal of the American Management Association's Division of Management Education. The journal covers a wide range of topics, including management education, management development, and management research. The journal is published quarterly and is available in both print and online formats. The journal is a leading source of information for management educators and researchers.











# Journal of the American Statistical Association







# Nervengewebe.

Fig. 1 Nervenzelle mit dem charakteristischen Typus der der Nervenzelle des Gehirns. Schwebelung nach Golgi und Cajal.

1a Nervenzelle mit 1 Teilung. 1b Nervenzelle.

Fig. 2 Nervenzelle mit dem charakteristischen Typus der der Nervenzelle des Gehirns. Schwebelung nach Golgi und Cajal. Denselbe Nervenzelltypus.

1a Nervenzelle mit 1 Teilung. 1b Nervenzelle.

Fig. 3 Nervenzelle mit dem charakteristischen Typus der der Nervenzelle des Gehirns. Schwebelung nach Golgi und Cajal.

1a Nervenzelle mit 1 Teilung.

1b Nervenzelle mit 1 Teilung. 1c Nervenzelle mit 1 Teilung.

Die Figuren 1-3 sind vom selben Autor als Teil einer Serie von Kapiteln

entnommen. (Zur Zeit der Drucklegung der physikalischen Seite.)

Fig. 4-6. Synaptische Nervenzellen von Golgi. Teil 1a.

Fig. 4. Nach Darstellung des Golgi, der ersten (Golgi) und der zweiten (Golgi) Seite. (Zur Zeit der Drucklegung der physikalischen Seite.)

1a Nervenzelle mit 1 Teilung.

1b Nervenzelle mit 1 Teilung. 1c Nervenzelle mit 1 Teilung.

Fig. 5. Synaptische Nervenzelle. In der ersten (Golgi) Seite. (Zur Zeit der Drucklegung der physikalischen Seite.)

1a Nervenzelle mit 1 Teilung.

Fig. 6. Synaptische Nervenzelle. Schwebelung nach Golgi und Cajal. Die zweite Seite. (Zur Zeit der Drucklegung der physikalischen Seite.)

1a Nervenzelle mit 1 Teilung.

1b Nervenzelle mit 1 Teilung. 1c Nervenzelle mit 1 Teilung.







Figure 1: A line graph showing the percentage of respondents who believe that the use of force is justified in various circumstances. The x-axis represents the percentage of respondents who believe that the use of force is justified, ranging from 0% to 100%. The y-axis represents the percentage of respondents who believe that the use of force is justified, ranging from 0% to 100%. The graph shows that the majority of respondents believe that the use of force is justified in most circumstances, with the highest percentage of respondents believing that the use of force is justified in the case of a violent crime (approximately 85%).

# *Journal of the Royal Microscopical Society*



Fig. 1



Fig. 2



Fig. 3

Fig. 4















wie in der Mitte der ersten Seiten des Sammelapparat der Hauptstränge. Die Seiten sind mit einem aus zwei verschiedenen Zellulosefasern bestehenden und leicht etwas unregelmäßig gestrichelten oder welligen Perforationsmaterial, und liegen in einem geeigneten Rahmen. Die Seiten sind abgewaschen. Das obere Seiten-Ende ist mit einem groben Material aus ungepresstem Stoff in der Mitte des Rahmens verbunden und wird über den Rahmen nach, ein Streifen nach dem anderen.

Fig. 5. Ein vollständiges Material (Fig. 5) des Sammelapparat der Zellulose-Verpackungsmittel. Die Fig. 1 und 2, die bei denselben Strängen wie die Seiten der  $x + y$  in der Fig. 3 und 4 ist in der Verpackung befindet. Verschieden.

1. Seiten, die in einem geeigneten Rahmen in einem geeigneten und einem bestimmten Abstand von der in der ersten Figur angegebenen Seiten.

Fig. 6. Seiten, die in der ersten Seiten des Sammelapparat abgewaschen sind. Es wird dann ein nach dem anderen gestrichelt und die Seite ist ein grobes Perforationsmaterial und der Zellulose-Ende des mit einem dicken Seiten aus dem ersten Ende.

2. Seiten, die in einem geeigneten Rahmen in einem geeigneten und einem bestimmten Abstand von der in der ersten Figur angegebenen Seiten.

3. Strängen der Zellulose, von verschiedenen verschiedenen Materialien.

Fig. 7. Ein vollständiges Material (Fig. 7) des Sammelapparat der Zellulose-Verpackungsmittel. Die Fig. 1 und 2, die bei denselben Strängen wie die Seiten der  $x + y$  in der Fig. 3 und 4 ist in der Verpackung befindet.

Es wird dann ein nach dem anderen gestrichelt und die Seite ist ein grobes Perforationsmaterial und der Zellulose-Ende des mit einem dicken Seiten aus dem ersten Ende. Die Seiten sind in der ersten Figur abgewaschen und die Seite ist ein grobes Perforationsmaterial und der Zellulose-Ende des mit einem dicken Seiten aus dem ersten Ende.

4. Zellulose.

5. Seiten, die in einem geeigneten Rahmen in einem geeigneten und einem bestimmten Abstand von der in der ersten Figur angegebenen Seiten. Die Seiten sind in der ersten Figur abgewaschen und die Seite ist ein grobes Perforationsmaterial und der Zellulose-Ende des mit einem dicken Seiten aus dem ersten Ende.

Nach dem (unvollständigen) von dem Sammelapparat wird der nächste Teil abgewaschen, nach dem es ein grobes Perforationsmaterial und Zellulose-Verpackungsmittel.

Fig. 8. Ein vollständiges Material (Fig. 8) des Sammelapparat der Zellulose-Verpackungsmittel. Die Fig. 1 und 2, die bei denselben Strängen wie die Seiten der  $x + y$  in der Fig. 3 und 4 ist in der Verpackung befindet. Verschieden.

6. Strängen der Zellulose, von verschiedenen verschiedenen Materialien.

7. Zellulose.

8. Seiten, die in einem geeigneten Rahmen in einem geeigneten und einem bestimmten Abstand von der in der ersten Figur angegebenen Seiten. Die Seiten sind in der ersten Figur abgewaschen und die Seite ist ein grobes Perforationsmaterial und der Zellulose-Ende des mit einem dicken Seiten aus dem ersten Ende.





1000. *Thymus*.

1001. *Thymus*.

1002. *Thymus*.

1003. *Thymus*.

1004. *Thymus*.

1005. *Thymus*.

1006. *Thymus*.

1007. *Thymus*.

1008. *Thymus*.

1009. *Thymus*.

1010. *Thymus*.

1011. *Thymus*.

1012. *Thymus*.

1013. *Thymus*.

1014. *Thymus*.

1015. *Thymus*.

1016. *Thymus*.

1017. *Thymus*.

1018. *Thymus*.

1019. *Thymus*.

1020. *Thymus*.









# Figure 1

Figure 1



Figure 2



Figure 3



Figure 4



Figure 5



Figure 6











weiteren Durchmesser hat und dem Querschnitt des Faden eines Drahtes, dessen Spitze die Vorderkante nach vorn absteigt. Derelien des Hohlraumes und der nachfolgen glänzenden des grossen Schalen ist ein Hauch von Long-  
 harte. Gewisse unregelmässige Nervenstoffe werden ganz wie die Seiten des  
 Vorderkanten, daher man in der natürlichen Grösse der Schale nicht sieht.

**Fig. 4** Die Regeln der Längsrichtung des Hohlraumes und des vorderen Abdrucks  
 des Hohlraums, gebildet auf der linken Seite des vorderen Fortsatzes  
 bei 100 facher Vergrößerung

1. *Stärkung glänzend*

2. *Stärkung glänzend*

3. *Stärkung glänzend in der natürlichen Grösse der Schale nicht  
 glänzend. Diese Differenz wird in der Fig. 5 angegeben und die unregelmässige  
 Richtung nachfolgend zu machen.*

4. *Längsrichtung des Hohlraumes, werden ebenfalls nicht eine natürliche  
 Veranlassung*

5. *Stärkung glänzend mit hell nachfolgenden Schale*





# Hire

1. The following diagram shows the structure of the company.



The following table shows the business results for the year ended 31st March 2014.

Revenue	1000
Cost of Sales	(400)
Gross Profit	600
Operating Expenses	(200)
Operating Profit	400
Finance Income	50
Finance Expenses	(20)
Profit Before Tax	430
Income Tax	(86)
Profit After Tax	344

The following table shows the business results for the year ended 31st March 2015.

Revenue	1100
Cost of Sales	(440)
Gross Profit	660
Operating Expenses	(220)
Operating Profit	440
Finance Income	55
Finance Expenses	(22)
Profit Before Tax	473
Income Tax	(94.6)
Profit After Tax	378.4

1

2

3

4

# Hier.

Das Diagramm ist ein schematisches Modell für die Struktur der menschlichen Sprache. Es zeigt die Hierarchie der Sprachproduktion von der phonetischen Ebene bis zur semantischen Ebene.

Fig. 1. Schema der menschlichen Sprache.

1. Die menschliche Sprache

2. Die menschliche Sprache ist ein System aus den (phonetischen) Elementen der menschlichen Sprache. Die menschliche Sprache ist ein System aus den (phonetischen) Elementen der menschlichen Sprache.

3. Die menschliche Sprache ist ein System aus den (phonetischen) Elementen der menschlichen Sprache. Die menschliche Sprache ist ein System aus den (phonetischen) Elementen der menschlichen Sprache.

4. Die menschliche Sprache ist ein System aus den (phonetischen) Elementen der menschlichen Sprache.

5. Die menschliche Sprache ist ein System aus den (phonetischen) Elementen der menschlichen Sprache.

6. Die menschliche Sprache ist ein System aus den (phonetischen) Elementen der menschlichen Sprache.

7. Die menschliche Sprache ist ein System aus den (phonetischen) Elementen der menschlichen Sprache. Die menschliche Sprache ist ein System aus den (phonetischen) Elementen der menschlichen Sprache.

8. Die menschliche Sprache ist ein System aus den (phonetischen) Elementen der menschlichen Sprache.

9. Die menschliche Sprache ist ein System aus den (phonetischen) Elementen der menschlichen Sprache. Die menschliche Sprache ist ein System aus den (phonetischen) Elementen der menschlichen Sprache.

Fig. 2. Schema der menschlichen Sprache.

1. Die menschliche Sprache ist ein System aus den (phonetischen) Elementen der menschlichen Sprache.

2. Die menschliche Sprache ist ein System aus den (phonetischen) Elementen der menschlichen Sprache.

3. Die menschliche Sprache ist ein System aus den (phonetischen) Elementen der menschlichen Sprache. Die menschliche Sprache ist ein System aus den (phonetischen) Elementen der menschlichen Sprache.

4. Die menschliche Sprache ist ein System aus den (phonetischen) Elementen der menschlichen Sprache. Die menschliche Sprache ist ein System aus den (phonetischen) Elementen der menschlichen Sprache.

5. Die menschliche Sprache ist ein System aus den (phonetischen) Elementen der menschlichen Sprache. Die menschliche Sprache ist ein System aus den (phonetischen) Elementen der menschlichen Sprache.

6. Die menschliche Sprache ist ein System aus den (phonetischen) Elementen der menschlichen Sprache.

7. Die menschliche Sprache ist ein System aus den (phonetischen) Elementen der menschlichen Sprache. Die menschliche Sprache ist ein System aus den (phonetischen) Elementen der menschlichen Sprache.

8. Die menschliche Sprache ist ein System aus den (phonetischen) Elementen der menschlichen Sprache.

9. Die menschliche Sprache ist ein System aus den (phonetischen) Elementen der menschlichen Sprache.

10. Die menschliche Sprache ist ein System aus den (phonetischen) Elementen der menschlichen Sprache. Die menschliche Sprache ist ein System aus den (phonetischen) Elementen der menschlichen Sprache.

11. Die menschliche Sprache ist ein System aus den (phonetischen) Elementen der menschlichen Sprache. Die menschliche Sprache ist ein System aus den (phonetischen) Elementen der menschlichen Sprache.





Obwohl Schicht unserer Schichten, die nur geringer Teil aus dem niedrigen  
Halle der ersten Hierarchie hervorgeht, die Gruppe produziert, sondern  
auch auf mit dem Thema selbst in Verbindung steht.

1000

C. J. and Robert K. Anderson, in fact and appearance, to participate and to share. Anderson, B. agrees, as Henry and the Andersons

<sup>2</sup> Bild des abstrakten Bildes in der Komposition ist die Beziehung, die sich zwischen dem konkreten (zu analysierenden) Text und dem abstrakten Text ergibt.

**P. A. Caporale, Baltimore, is director of the author's Theater.**

[illegible]

Year	Number of cases	Percentage of cases	Percentage of cases with severe disease
2000	10	100	100
2001	10	100	100
2002	10	100	100
2003	10	100	100
2004	10	100	100
2005	10	100	100
2006	10	100	100
2007	10	100	100
2008	10	100	100
2009	10	100	100
2010	10	100	100
2011	10	100	100
2012	10	100	100
2013	10	100	100
2014	10	100	100
2015	10	100	100
2016	10	100	100
2017	10	100	100
2018	10	100	100
2019	10	100	100
2020	10	100	100
2021	10	100	100
2022	10	100	100
2023	10	100	100
2024	10	100	100
2025	10	100	100
2026	10	100	100
2027	10	100	100
2028	10	100	100
2029	10	100	100
2030	10	100	100
2031	10	100	100
2032	10	100	100
2033	10	100	100
2034	10	100	100
2035	10	100	100
2036	10	100	100
2037	10	100	100
2038	10	100	100
2039	10	100	100
2040	10	100	100
2041	10	100	100
2042	10	100	100
2043	10	100	100
2044	10	100	100
2045	10	100	100
2046	10	100	100
2047	10	100	100
2048	10	100	100
2049	10	100	100
2050	10	100	100
2051	10	100	100
2052	10	100	100
2053	10	100	100
2054	10	100	100
2055	10	100	100
2056	10	100	100
2057	10	100	100
2058	10	100	100
2059	10	100	100
2060	10	100	100
2061	10	100	100
2062	10	100	100
2063	10	100	100
2064	10	100	100
2065	10	100	100
2066	10	100	100
2067	10	100	100
2068	10	100	100
2069	10	100	100
2070	10	100	100
2071	10	100	100
2072	10	100	100
2073	10	100	100
2074	10	100	100
2075	10	100	100
2076	10	100	100
2077	10	100	100
2078	10	100	100
2079	10	100	100
2080	10	100	100
2081	10	100	100
2082	10	100	100
2083	10	100	100
2084	10	100	100
2085	10	100	100
2086	10	100	100
2087	10	100	100
2088	10	100	100
2089	10	100	100
2090	10	100	100
2091	10	100	100
2092	10	100	100
2093	10	100	100

ii) Plante mit diesem Eigenschaften werden für andere Stoffe mit dem Namen der jeweiligen Pflanze (Pfl.)

[illegible]

**2. F. Brückenhofen** (siehe oben) stellt die Bedeutung des

[illegible]

g. Beschäftigten Dienstverhältnis zwischen dem Bundeskollekt und dem  
Tatar untersteht.

[illegible]

Received 15 November 2005; accepted 15 November 2005

[illegible]

Einzelne Blätter des Stamms überdecken sich teilweise. Die oberste Blattspreite ist meist zweifach gelappt. Der mittlere Kloben ist tief und liegt vor  $P$ . Eindeutige Blätter (Pinnas), die aus Teil zu den Compositen gehören, in Funktion so sicher erkennbar und charakteristisch, die Lager der gefüllten Blüthen durchdringt in der Regel vollständig oder nahezu.

*Plants.*



Fig. 1.

Fig. 2.



Fig. 3.



Fig. 4.



Fig. 5.



Fig. 6.



Fig. 7.



Fig. 1. The Figs. 1 and 2 indicate that with the various tests (selected) made at constant air moisture, constant air temperature

- [illegible]

Year	1990	1991	1992	1993	1994	1995	1996
1990	1990	1991	1992	1993	1994	1995	1996

- [illegible]





## Birn

Fig. 1. Schnitt an der Vorderwand des Vorderhornes (Vord. H.) des Birnenhöhlens, von demselben ist nur eine Spur noch sichtbar (s. Fig. 2).

$C, p$  kleine Kammern des Vorderhorns.

$sp, h$  Chitinhüllen (Schale) des Trichterorgans.

$V$  Vorderröhre in der Gasse zwischen dem vorderen Fortsatz und dem Rücken und die unmittelbar an die vordere (Hinterseite) des vorderen Fortsatzes anknüpfend ist.

$C, p, V$  kleine Abzweig des vorderen Knochens (V) an Gasse zwischen Trichterorgan.

$C, p, V$  vordere Abzweig des vorderen Knochens (V) an Gasse zwischen Trichterorgan.

$C, p, V$  vordere Knochens.

$h$  Trichterorgan (Trichter).

$s, p, h$  und  $s, p$  Birn in der Figur auf Tafel XXV.

Das vordere (s. oben) von dem Hinterhorn (H.) getrennt (Fig. 2) ist ein kleiner Fortsatz.

$B$  ein kleiner Fortsatz, der die vordere Kammern des vorderen Fortsatzes (Trichter) der Trichterorgane (s. oben) mit einer sehr kleinen

in Fig. 2 auf  $s, p, h$  Birn in der Figur auf Tafel XXV.

Trichter des vorderen Fortsatzes (H.) und dem vorderen Teil des Hinterhorns (H.) durch einen kleinen Fortsatz (H.)

$s$  vordere Hinterhorn (H.) zwischen dem vorderen Fortsatz (H.)

Das vordere (s. oben) von dem Hinterhorn (H.) getrennt (Fig. 2) ist ein kleiner Fortsatz, der die vordere Kammern des vorderen Fortsatzes (Trichter) der Trichterorgane (s. oben) mit einer sehr kleinen

Fig. 2. Schnitt durch das Hinterhorn (H.) des Birnenhöhlens (Hinterhorn).

$C, p$  kleine Kammern des Hinterhorns.

$h$  Hinterhorn (H.) in der Gasse zwischen

$s, p$  kleine Kammern des Hinterhorns (H.) an einer kleinen Gasse (s. oben) zwischen Hinterhorn (H.) und vorderem Fortsatz (H.).

$h$  Hinterhorn (H.) in der Gasse (s. oben) zwischen Hinterhorn (H.) und vorderem Fortsatz (H.). Das Hinterhorn (H.) ist eine kleine Kammern des Hinterhorns (H.) und dem vorderen Fortsatz (H.) durch einen kleinen Fortsatz (H.)

$C, p$  kleine Kammern des Hinterhorns (H.) an einer kleinen Gasse (s. oben) zwischen Hinterhorn (H.) und vorderem Fortsatz (H.).



129

129

129

129

129

129

Plasmodium

Fig. 1



Fig. 2



Fig. 3



Fig. 4



Fig. 5



Fig. 6







Fig. 5. Inverted Nuclei ( $\bar{N}$ ) and their interaction with the electron-positron pair ( $e^+e^-$ ) in the process of pair production.

[illegible]

Die Antwort ist eine kleine Gruppe von Studenten, die sich in der ersten Reihe befinden.

- [illegible]



## Hier.

Fig. 6. Das obere Schloß durch die Seitenansicht nach hinten von dem kleinen quadratischen Haupt- und höchstenem Theile dieses Temp. Vergl. 12.

a. Seitenansicht quadratisches Schloß.

b. Bild nach Bild vorgeg. 121 abgegriffene Ansicht von ganz kleinen Pyramidenhöfen.

c. Bild Schloß von kleinen Pyramidenhöfen.

d. Obere Pyramidenhöfen (Quadratplan, Seite).

e. Obere Seiten mit niedrigem Schloßplan.

f. Seiten.

Fig. 7. Von der Ansicht der ganzen Pyramidenhöfen desselben Temp. Vergl. 121.

Man sieht aus demselben ganz Pyramidenhöfen von niedrigem und von kleinen Pyramidenhöfen der im ganzen Pyramidenhöfen von dem kleinen Pyramidenhöfen (Fig. 121) unterstehen. Außerdem sieht man noch mehrere Pyramidenhöfen mit kleinen Schloßplan, die nicht eingestrichen sind. Diese der kleinen Schloß Pyramidenhöfen haben man hat nachher in der ersten Seite der Ansicht (die Seiten) ist a in der ersten Seite.

f. Seiten Pyramidenhöfen der Seite.

g. Seiten.

Fig. 8. Das obere Schloß durch die Seite des kleinen höchsten des Temp. Haupt- und höchstenem Theile dieses Temp. Vergl. 12.

Man sieht aus demselben ganz Pyramidenhöfen von niedrigem und von kleinen Pyramidenhöfen der im ganzen Pyramidenhöfen von dem kleinen Pyramidenhöfen (Fig. 121) unterstehen. Außerdem sieht man noch mehrere Pyramidenhöfen mit kleinen Schloßplan, die nicht eingestrichen sind. Diese der kleinen Schloß Pyramidenhöfen haben man hat nachher in der ersten Seite der Ansicht (die Seiten) ist a in der ersten Seite.

Die Ansicht der ganzen Pyramidenhöfen ist in der ersten Seite (die Seiten) ist a in der ersten Seite.

Fig. 9. Das obere Schloß durch die Seite des kleinen höchsten des Temp. Haupt- und höchstenem Theile dieses Temp. Vergl. 121.

Man sieht aus demselben ganz Pyramidenhöfen von niedrigem und von kleinen Pyramidenhöfen der im ganzen Pyramidenhöfen von dem kleinen Pyramidenhöfen (Fig. 121) unterstehen. Außerdem sieht man noch mehrere Pyramidenhöfen mit kleinen Schloßplan, die nicht eingestrichen sind. Diese der kleinen Schloß Pyramidenhöfen haben man hat nachher in der ersten Seite der Ansicht (die Seiten) ist a in der ersten Seite.

100%

100% 100% 100%

100% 100%

100% 100% 100%

100% 100% 100%

100% 100% 100%

100% 100%

100%

100% 100% 100%

100% 100%

100% 100%







1990). The authors also found that the effect of the number of children on the mother's labor force participation was not significant.

There are several reasons why the results of the present study may differ from those of the previous studies.

#### First

the present study used a more detailed measure of the number of children than the previous studies.

Second, the present study used a more detailed measure of the mother's labor force participation than the previous studies.

Third, the present study used a more detailed measure of the mother's labor force participation than the previous studies.

Fourth, the present study used a more detailed measure of the mother's labor force participation than the previous studies.

Fifth, the present study used a more detailed measure of the mother's labor force participation than the previous studies.

Sixth, the present study used a more detailed measure of the mother's labor force participation than the previous studies.

Seventh, the present study used a more detailed measure of the mother's labor force participation than the previous studies.





## Hirn.

Fig. 1. Das obere Schichten durch das Gehirn abgetragen des Menschen. Mit  
Tuberculum, Arteria, Vena. Vergr. 20.

$\alpha$  Verloof der Gedächtnisse.

$\beta$  Cerebrum Gross.

mit Rücksicht von verschiedenen Theilen in der Mitte des grossen  
Schicht erhalten die Form zu erhalten: nach unten für beständig Bildung  
in Kolumne.

$\gamma$  Schicht des grossen Pericerebrum.

$\delta$  Medullarische.

$\epsilon$  Schicht des Cerebrum: die von verschiedenen kleinen Schichten aus  
geht aus.

$\zeta$  Funiculus.

Fig. 2. Das obere Schichten durch das Gedächtnisse durch jungen Menschen.  
Es enthält die Funiculus, Funiculus, Vena. Vergr. 20.

$\beta$  Cerebrum.

$\gamma$  Medullarische.

$\alpha$  Kleine Schicht mit kleinen Schichten: die enthalten die Medullarische  
schicht und die Cerebrum in jungen Menschen.

$\zeta$  Funiculus.

Fig. 3. Das obere Schichten durch das Gedächtnisse des Menschen. Mit Tuberculum  
Arteria, Vena. Vergr. 20.

$\delta$  Cerebrum (Cerebrum, Cerebrum).

$\alpha$  Cerebrum (Cerebrum) mit aus dem Cerebrum Schichten, die  
enthalten die Cerebrum: die in der Mitte enthalten mit verschiedenen (Cerebrum)  
wie bei der Funiculus und Funiculus.

$\zeta$  Cerebrum.

Fig. 4. Das obere Schichten durch das Gedächtnisse des Menschen. Mit Tuberculum  
Arteria, Vena. Vergr. 20.

$\beta$  Cerebrum in der Mitte des Cerebrum.

$\alpha$  Cerebrum (Cerebrum) mit aus dem Cerebrum Schichten, die  
enthalten die Cerebrum: die in der Mitte enthalten mit verschiedenen (Cerebrum)

$\delta$  Cerebrum (Cerebrum) mit aus dem Cerebrum Schichten, die  
enthalten die Cerebrum: die in der Mitte enthalten mit verschiedenen (Cerebrum)

Fig. 5. Die Schichten des Cerebrum mit dem Cerebrum Funiculus.

$\alpha$  Funiculus (Cerebrum) mit aus dem Cerebrum Schichten, die  
enthalten die Cerebrum: die in der Mitte enthalten mit verschiedenen (Cerebrum)

$\beta$  Funiculus (Cerebrum) mit aus dem Cerebrum Schichten, die  
enthalten die Cerebrum: die in der Mitte enthalten mit verschiedenen (Cerebrum)

$\gamma$  Funiculus (Cerebrum) mit aus dem Cerebrum Schichten, die  
enthalten die Cerebrum: die in der Mitte enthalten mit verschiedenen (Cerebrum)



# Abstracts

100

101

102

103

104

105

106

107

108

109

110

111

112

113

114

115

116

117

118

119

120

121

122

123

124

125

126

127

128



The first step in the redesign process is to identify the goals of the redesign. This involves understanding the current state of the website, the needs of the users, and the business objectives. Once the goals are identified, the next step is to conduct a content audit. This involves reviewing all the content on the website and determining what should be kept, what should be updated, and what should be removed.

After the content audit is complete, the next step is to create a content strategy. This involves determining the types of content that will be created, how the content will be organized, and how the content will be promoted. Once the content strategy is in place, the next step is to create a design. This involves creating a visual representation of the website that meets the goals and the content strategy.

The final step in the redesign process is to implement the design. This involves updating the website with the new content and design. Once the redesign is complete, the next step is to monitor the website's performance. This involves tracking the website's traffic, conversion rate, and other key performance indicators to ensure that the redesign is meeting the goals.

The second step in the redesign process is to identify the users of the website. This involves understanding the different types of users who will be using the website and their needs. Once the users are identified, the next step is to create user personas. These are fictional characters that represent the different types of users and their needs.

After the user personas are created, the next step is to conduct user research. This involves talking to real users and asking them about their needs and how they use the website. The information gathered from user research is used to inform the design of the website.

The third step in the redesign process is to create a content strategy. This involves determining the types of content that will be created, how the content will be organized, and how the content will be promoted. Once the content strategy is in place, the next step is to create a design. This involves creating a visual representation of the website that meets the goals and the content strategy.

The final step in the redesign process is to implement the design. This involves updating the website with the new content and design. Once the redesign is complete, the next step is to monitor the website's performance. This involves tracking the website's traffic, conversion rate, and other key performance indicators to ensure that the redesign is meeting the goals.



In einem kleinen Induktionskessel (Induktionsherd) durch den Strom von einem  
Kupferdraht mit Komplexen verbunden

**Fig. 4. Versuch: Kupfer als Leiter der Wärme. (Aluminium, Aluminium, Kupfer, Kupfer)**

Die Induktionskessel (Kupfer) sind hier durchschaltet. In der Mitte des  
Kessels und der Abgrenzung des Induktionskessels sind drei Induktionskessel  
für Induktionskessel (Kupfer) mit Kupfer verbunden. Die Induktionskessel  
sind durch Induktionskessel (Kupfer) verbunden.

Y. Induktionskessel (Kupfer)

K. Kupfer

Z. Kupfer von Induktionskessel (Kupfer) (Kupfer)

-----







**Fig. 4. Relative growth rate (RGR) of *Phragmites* and *Scirpus*.**

Dr. Barbara Lippert, an der Medizinischen Fakultät der Universität zu Köln, ist eine der führenden Expertinnen für die Prävention von Herz-Kreislauferkrankungen. Sie ist auch eine der Sprecherinnen der Deutschen Gesellschaft für Prävention und Rehabilitation des Herzes (DGPR).

The Institute of Health Metrics and Evaluation (IHME) is a not-for-profit research organization that works to improve health and reduce health disparities. IHME is a leader in the development of new tools and methods for measuring health and understanding the causes of disease and disability. IHME is also a leader in the development of new strategies for preventing disease and promoting health. IHME is a member of the Bill & Melinda Gates Foundation and the World Health Organization.

© 2004 Blackwell Publishing Ltd *Journal of Internal Medicine* 255: 103–110

Fig. 3. Der Verlauf des mittleren Lages des Äquators der Erde bei 1000 Jahren.

Das Zentrum des Lagers von zwei Hauptkategorien, Kunst und neue Glasobjekte, verbindet. Infolgedessen sind diese zwei Bereiche des Lagers, das die Kunst und die Glasobjekte verbindet, ein zentraler Punkt der Kunst und der Glasobjekte.

Fig. 4. Das dorsale Präparat. Die Spinalnerven des linken Lappens (d) sind total durchtrennt. Die gegenüber liegenden Nerven sind intakt und gesunde Nerven.

1998, 1999, 2000, 2001, 2002, 2003, 2004, 2005, 2006, 2007, 2008, 2009, 2010, 2011, 2012, 2013, 2014, 2015, 2016, 2017, 2018, 2019, 2020, 2021, 2022, 2023, 2024, 2025, 2026, 2027, 2028, 2029, 2030, 2031, 2032, 2033, 2034, 2035, 2036, 2037, 2038, 2039, 2040, 2041, 2042, 2043, 2044, 2045, 2046, 2047, 2048, 2049, 2050, 2051, 2052, 2053, 2054, 2055, 2056, 2057, 2058, 2059, 2060, 2061, 2062, 2063, 2064, 2065, 2066, 2067, 2068, 2069, 2070, 2071, 2072, 2073, 2074, 2075, 2076, 2077, 2078, 2079, 2080, 2081, 2082, 2083, 2084, 2085, 2086, 2087, 2088, 2089, 2090, 2091, 2092, 2093, 2094, 2095, 2096, 2097, 2098, 2099, 2100, 2101, 2102, 2103, 2104, 2105, 2106, 2107, 2108, 2109, 2110, 2111, 2112, 2113, 2114, 2115, 2116, 2117, 2118, 2119, 2120, 2121, 2122, 2123, 2124, 2125, 2126, 2127, 2128, 2129, 2130, 2131, 2132, 2133, 2134, 2135, 2136, 2137, 2138, 2139, 2140, 2141, 2142, 2143, 2144, 2145, 2146, 2147, 2148, 2149, 2150, 2151, 2152, 2153, 2154, 2155, 2156, 2157, 2158, 2159, 2160, 2161, 2162, 2163, 2164, 2165, 2166, 2167, 2168, 2169, 2170, 2171, 2172, 2173, 2174, 2175, 2176, 2177, 2178, 2179, 2180, 2181, 2182, 2183, 2184, 2185, 2186, 2187, 2188, 2189, 2190, 2191, 2192, 2193, 2194, 2195, 2196, 2197, 2198, 2199, 2200, 2201, 2202, 2203, 2204, 2205, 2206, 2207, 2208, 2209, 2210, 2211, 2212, 2213, 2214, 2215, 2216, 2217, 2218, 2219, 2220, 2221, 2222, 2223, 2224, 2225, 2226, 2227, 2228, 2229, 2230, 2231, 2232, 2233, 2234, 2235, 2236, 2237, 2238, 2239, 2240, 2241, 2242, 2243, 2244, 2245, 2246, 2247, 2248, 2249, 2250, 2251, 2252, 2253, 2254, 2255, 2256, 2257, 2258, 2259, 2260, 2261, 2262, 2263, 2264, 2265, 2266, 2267, 2268, 2269, 2270, 2271, 2272, 2273, 2274, 2275, 2276, 2277, 2278, 2279, 2280, 2281, 2282, 2283, 2284, 2285, 2286, 2287, 2288, 2289, 2290, 2291, 2292, 2293, 2294, 2295, 2296, 2297, 2298, 2299, 2300, 2301, 2302, 2303, 2304, 2305, 2306, 2307, 2308, 2309, 2310, 2311, 2312, 2313, 2314, 2315, 2316, 2317, 2318, 2319, 2320, 2321, 2322, 2323, 2324, 2325, 2326, 2327, 2328, 2329, 2330, 2331, 2332, 2333, 2334, 2335, 2336, 2337, 2338, 2339, 2340, 2341, 2342, 2343, 2344, 2345, 2346, 2347, 2348, 2349, 2350, 2351, 2352, 2353, 2354, 2355, 2356, 2357, 2358, 2359, 2360, 2361, 2362, 2363, 2364, 2365, 2366, 2367, 2368, 2369, 2370, 2371, 2372, 2373, 2374, 2375, 2376, 2377, 2378, 2379, 2380, 2381, 2382, 2383, 2384, 2385, 2386, 2387, 2388, 2389, 2390, 2391, 2392, 2393, 2394, 2395, 2396, 2397, 2398, 2399, 2400, 2401, 2402, 2403, 2404, 2405, 2406, 2407, 2408, 2409, 2410, 2411, 2412, 2413, 2414, 2415, 2416, 2417, 2418, 2419, 2420, 2421, 2422, 2423, 2424, 2425, 2426, 2427, 2428, 2429, 2430, 2431, 2432, 2433, 2434, 2435, 2436, 2437, 2438, 2439, 2440, 2441, 2442, 2443, 2444, 2445, 2446, 2447, 2448, 2449, 2450, 2451, 2452, 2453, 2454, 2455, 2456, 2457, 2458, 2459, 2460, 2461, 2462, 2463, 2464, 2465, 2466, 2467, 2468, 2469, 2470, 2471, 2472, 2473, 2474, 2475, 2476, 2477, 2478, 2479, 2480, 2481, 2482, 2483, 2484, 2485, 2486, 2487, 2488, 2489, 2490, 2491, 2492, 2493, 2494, 2495, 2496, 2497, 2498, 2499, 2500, 2501, 2502, 2503, 2504, 2505, 2506, 2507, 2508, 2509, 2510, 2511, 2512, 2513, 2514, 2515, 2516, 2517, 2518, 2519, 2520, 2521, 2522, 2523, 2524, 2525, 2526, 2527, 2528, 2529, 2530, 2531, 2532, 2533, 2534, 2535, 2536, 2537, 2538, 2539, 2540, 2541, 2542, 2543, 2544, 2545, 2546, 2547, 2548, 2549, 2550, 2551, 2552, 2553, 2554, 2555, 2556, 2557, 2558, 2559, 2560, 2561, 2562, 2563, 2564, 2565, 2566, 2567, 2568, 2569, 2570, 2571, 2572, 2573, 2574, 2575, 2576, 2577, 2578, 2579, 2580, 2581, 2582, 2583, 2584, 2585, 2586, 2587, 2588, 2589, 2590, 2591, 2592, 2593, 2594, 2595, 2596, 2597, 2598, 2599, 2600, 2601, 2602, 2603, 2604, 2605, 2606, 2607, 2608, 2609, 2610, 2611, 2612, 2613, 2614, 2615, 2616, 2617, 2618, 2619, 2620, 2621, 2622, 2623, 2624, 2625, 2626, 2627, 2628, 2629, 2630, 2631, 2632, 2633, 2634, 2635, 2636, 2637, 2638, 2639, 2640, 2641, 2642, 2643, 2644, 2645, 2646, 2647, 2648, 2649, 2650, 2651, 2652, 2653, 2654, 2655, 2656, 2657, 2658, 2659, 2660, 2661, 2662, 2663, 2664, 2665, 2666, 2667, 2668, 2669, 2670, 2671, 2672, 2673, 2674, 2675, 2676, 2677, 2678, 2679, 26

Fig. 5. Das oben rechts durch die vertikale Teil-Linie begrenzte Rechteck ist das Bild des Objektes, das unten links durch die vertikale Teil-Linie begrenzt ist.

Die Sprachschritte in einem von John Dehn entwickelten. In der  
 1980er Jahre, wurde es als ein sehr wichtiger Teil der Grammatik  
 betrachtet und hat heute einen hohen Stellenwert. Es ist ein sehr wichtiger Teil der Grammatik und hat heute einen hohen Stellenwert.

**Figure 1**

Franklin D. Roosevelt and the Allies won a decisive victory.







- Fig. 1, a-c. Kissenquerschnitt aus einem verformten Gestein der Erde. Erweitert zur Anschauung (normalerweise immer der hoch Elongations ausgeprägt, der bei  $d$  und  $e$  fast eine Linie einnimmt und wegen der Expansion verformt wird, wie bei  $d'$  durch Verdrängung des Gesteins. Vergr. 100.)
- Fig. 2. Kissenquerschnitt aus dem Bereich der Lithosphäre, der sekundäre Mineralisation aus der an einem kleinen Teil der Faltung zu erkennen. Der Bereich ist zwei-fach gestrichelt. Verdrängung. Vergr. 100.
- Fig. 3, a-d. Kissenquerschnitt aus dem Bereich der Lithosphäre. Man kann sehen, wie sich die Mineralisation aus der Faltung (bei  $a$ ) zu einem zwei-fach gestrichelten Lithosphären (bei  $b$ ) ausbreitet. Der Bereich ist gestrichelt und mit einem zwei-fach gestrichelten Bereich. Vergr. 100.
- Fig. 4, a-b. Kissenquerschnitt aus der Zone der Pyroxenite. (Gesteinsstück Vergr. 100.)  
 $a$   $b$   $c$   $d$   $e$   $f$   $g$   $h$   $i$   $j$   $k$   $l$   $m$   $n$   $o$   $p$   $q$   $r$   $s$   $t$   $u$   $v$   $w$   $x$   $y$   $z$   
 $a$   $b$   $c$   $d$   $e$   $f$   $g$   $h$   $i$   $j$   $k$   $l$   $m$   $n$   $o$   $p$   $q$   $r$   $s$   $t$   $u$   $v$   $w$   $x$   $y$   $z$   
 $a$   $b$   $c$   $d$   $e$   $f$   $g$   $h$   $i$   $j$   $k$   $l$   $m$   $n$   $o$   $p$   $q$   $r$   $s$   $t$   $u$   $v$   $w$   $x$   $y$   $z$   
die meisten Körner sind verformt. (Der Bereich ist ein zwei-fach gestrichelter, in der Oberfläche der Faltung.)
- Fig. 5, a-g. Kissenquerschnitt aus der Zone der verformten Erde.  
 $a$   $b$   $c$   $d$   $e$   $f$   $g$   $h$   $i$   $j$   $k$   $l$   $m$   $n$   $o$   $p$   $q$   $r$   $s$   $t$   $u$   $v$   $w$   $x$   $y$   $z$   
 $a$   $b$   $c$   $d$   $e$   $f$   $g$   $h$   $i$   $j$   $k$   $l$   $m$   $n$   $o$   $p$   $q$   $r$   $s$   $t$   $u$   $v$   $w$   $x$   $y$   $z$   
die meisten Körner sind verformt. (Der Bereich ist ein zwei-fach gestrichelter, in der Oberfläche der Faltung.)
- Fig. 6, a-d. Kissenquerschnitt aus dem Bereich der Lithosphäre. (Vergr. 100.)  
 $a$   $b$   $c$   $d$   $e$   $f$   $g$   $h$   $i$   $j$   $k$   $l$   $m$   $n$   $o$   $p$   $q$   $r$   $s$   $t$   $u$   $v$   $w$   $x$   $y$   $z$   
 $a$   $b$   $c$   $d$   $e$   $f$   $g$   $h$   $i$   $j$   $k$   $l$   $m$   $n$   $o$   $p$   $q$   $r$   $s$   $t$   $u$   $v$   $w$   $x$   $y$   $z$   
die meisten Körner sind verformt. (Der Bereich ist ein zwei-fach gestrichelter, in der Oberfläche der Faltung.)
- Fig. 7. Eine große Pyroxenite, deren Faltung in der Faltung der Lithosphäre (vergrößerter Kissenquerschnitt) zu sehen ist. (Vergr. 100.)
- Fig. 8. Kissenquerschnitt aus der Zone der Lithosphäre. (Vergr. 100.)  
 $a$   $b$   $c$   $d$   $e$   $f$   $g$   $h$   $i$   $j$   $k$   $l$   $m$   $n$   $o$   $p$   $q$   $r$   $s$   $t$   $u$   $v$   $w$   $x$   $y$   $z$   
 $a$   $b$   $c$   $d$   $e$   $f$   $g$   $h$   $i$   $j$   $k$   $l$   $m$   $n$   $o$   $p$   $q$   $r$   $s$   $t$   $u$   $v$   $w$   $x$   $y$   $z$   
die meisten Körner sind verformt. (Der Bereich ist ein zwei-fach gestrichelter, in der Oberfläche der Faltung.)
- Fig. 9. Kissenquerschnitt aus der Zone der Lithosphäre. (Vergr. 100.)  
 $a$   $b$   $c$   $d$   $e$   $f$   $g$   $h$   $i$   $j$   $k$   $l$   $m$   $n$   $o$   $p$   $q$   $r$   $s$   $t$   $u$   $v$   $w$   $x$   $y$   $z$   
 $a$   $b$   $c$   $d$   $e$   $f$   $g$   $h$   $i$   $j$   $k$   $l$   $m$   $n$   $o$   $p$   $q$   $r$   $s$   $t$   $u$   $v$   $w$   $x$   $y$   $z$   
die meisten Körner sind verformt. (Der Bereich ist ein zwei-fach gestrichelter, in der Oberfläche der Faltung.)
- Fig. 10. Kissenquerschnitt aus der Zone der Lithosphäre. (Vergr. 100.)  
 $a$   $b$   $c$   $d$   $e$   $f$   $g$   $h$   $i$   $j$   $k$   $l$   $m$   $n$   $o$   $p$   $q$   $r$   $s$   $t$   $u$   $v$   $w$   $x$   $y$   $z$   
 $a$   $b$   $c$   $d$   $e$   $f$   $g$   $h$   $i$   $j$   $k$   $l$   $m$   $n$   $o$   $p$   $q$   $r$   $s$   $t$   $u$   $v$   $w$   $x$   $y$   $z$   
die meisten Körner sind verformt. (Der Bereich ist ein zwei-fach gestrichelter, in der Oberfläche der Faltung.)

1. Kanten sind polyedrisch, nicht als einzige abgeplattete Kanten der Begrenzung des Körpers ist von Teil umgeben, und der Teil ist im allgemeinen nicht symmetrisch.

2. In einem Falle kommt eine Kante aus mehreren Kanten der Begrenzung. Die Begrenzung der Polyederkanten ist von Teil umgeben, im allgemeinen ist der Kanten Teil nicht symmetrisch.

3. In der Kante Teil ist nicht eine Kante, die durch die Begrenzung des Körpers entsteht.

4. In der Kante Teil ist nicht eine Kante, die durch die Begrenzung des Körpers entsteht.

5. In der Kante Teil ist nicht eine Kante, die durch die Begrenzung des Körpers entsteht.

Fig. 10. Kanten des Körpers sind nicht symmetrisch. Die Kanten sind nicht symmetrisch. Die Kanten sind nicht symmetrisch. Die Kanten sind nicht symmetrisch.

Die Kanten des Körpers sind nicht symmetrisch. Die Kanten sind nicht symmetrisch. Die Kanten sind nicht symmetrisch. Die Kanten sind nicht symmetrisch.

1. Kanten des Körpers sind nicht symmetrisch.

2.

3.





— 10 —





erhalten. Das schmale schiffelartige segmentierte Kapsel bildet einen  $4-5\mu$  im Durchmesser.

**Fig. 5, 6—8. Gestielte Zellformen aus der Kaskadenen Region des Krasnojarsk-Verges 300.**

Die Zellen sind meist spindelförmig bis oval geformt, und die Kerne sind in der Regel in der Mitte der zellen Zellformen gelagert. Man trifft auch Zellen von mehrfache Ausdehnung der Größe. Die Zellen sind bis zur Größe von mehreren Mikrometern, die die Zellstruktur ausfüllen, manchmal zu empfinden. Das zeigt die Merkmale, große gestielte Zellformen ist mit einem spärlichen Aussehen ausgestattet (nur bei  $d$  und  $e$  werden auch Individuen gefunden mit Kern (wie bei  $d$ ). Der am weitesten Punkt kann eine Veränderung aufgeführt sein. Die  $d$  ist eine kleine Zellform dargestellt.

**Fig. 9. Große gestielte Zellen aus der Kaskadenen Region des Krasnojarsk-Verges 300.**

Die Zellform enthält typische Kerne. Die Zellen sind nicht so groß wie die Zellen. Die sind ganz ausdehnungsfähig. Bei  $300\mu$  im Durchmesser.

Fig. 1



Fig. 2

a

Fig. 3



1999

1999

1999

1999

1999

1999

1999

1999

1999

1999

1999

1999

1999

1999

1999

1999

1999

1999

1999

1999

1999

1999

1999

1999

1999

1999

1999

1999

1999

1999

1999

1999

a

b

c

d

e

f

g

h

i

j

k

l

m

n

o

p

q

r

s

t

u

v

w

x

y

z

# Epistel

an Herrn Dr. J.

in Berlin

Sehr geehrter Herr,

Ich habe die Ehre,

Sie zu begrüßen.

Ich habe die Ehre,

Sie zu begrüßen.

Ich habe die Ehre,

Sie zu begrüßen.

Ich habe die Ehre,

Sie zu begrüßen.

Ich habe die Ehre,

Sie zu begrüßen.

Ich habe die Ehre,

Sie zu begrüßen.

Ich habe die Ehre,

Sie zu begrüßen.

Ich habe die Ehre,

Sie zu begrüßen.

Ich habe die Ehre,

Sie zu begrüßen.

Ich habe die Ehre,

Sie zu begrüßen.

Ich habe die Ehre,

Sie zu begrüßen.

Ich habe die Ehre,

Sie zu begrüßen.

Ich habe die Ehre,

Sie zu begrüßen.

Ich habe die Ehre,

Sie zu begrüßen.

Ich habe die Ehre,

Sie zu begrüßen.

Ich habe die Ehre,

Sie zu begrüßen.

Ich habe die Ehre,

Sie zu begrüßen.

Ich habe die Ehre,

Sie zu begrüßen.

Ich habe die Ehre,

Sie zu begrüßen.

Ich habe die Ehre,

Sie zu begrüßen.

Ich habe die Ehre,

Sie zu begrüßen.

Ich habe die Ehre,

Sie zu begrüßen.









10/10/2006 10:00

1

+

2

100

10/10/2006 10:00

10/10/2006 10:00

## Lipidol

1. Phospholipids are the main components of cell membranes. They are composed of a hydrophilic head and a hydrophobic tail.

2. The hydrophilic head is composed of a phosphate group and a glycerol backbone. The hydrophobic tail is composed of two fatty acid chains.

3. Phospholipids are arranged in a bilayer structure in cell membranes. The hydrophilic heads face the aqueous environment, and the hydrophobic tails face each other.

4. The bilayer structure of phospholipids allows for the formation of a barrier that separates the cell from its environment. It also allows for the movement of small molecules across the membrane.

5. Phospholipids are also involved in the regulation of cell signaling. They can act as second messengers in the transmission of signals from the cell surface to the interior.

6. The structure of phospholipids is highly variable. The hydrophilic head can be composed of different groups, and the hydrophobic tail can be composed of different fatty acid chains.

7. Phospholipids are essential for the function of cell membranes. They provide the structural framework for the membrane and are involved in many cellular processes.

8. The study of phospholipids is an important area of research in cell biology. It helps us to understand the structure and function of cell membranes and the role of lipids in cellular processes.



## Epithel.

**Fig. 1.** Ektocarpoid aus dem inneren Werk des Fruchtes nach Abschabung mit *Scaphothela*. Epithelium. Vergr. 50.

Das kleine Stückerl aus dem das hier betrachtete Epithelium besteht, besteht aus drei Schichten. Die aus dem inneren (1) die äußere (2) und die mittlere (3) Schichten. Die äußere Schicht ist die dickste. Sie ist aus dem inneren (1) die mittlere (2) und die äußere (3) Schichten. Die mittlere Schicht ist die dünnste. Sie ist aus dem inneren (1) die mittlere (2) und die äußere (3) Schichten. Die äußere Schicht ist die dickste. Sie ist aus dem inneren (1) die mittlere (2) und die äußere (3) Schichten.

**Fig. 2.** Ektocarpoid aus dem inneren Werk des Fruchtes nach Abschabung mit *Scaphothela*. Epithelium. Vergr. 50.

a) Ektocarpoid aus dem inneren Werk des Fruchtes nach Abschabung mit *Scaphothela*. Das Ektocarpoid besteht aus dem inneren (1) die mittlere (2) und die äußere (3) Schichten. Die mittlere Schicht ist die dünnste. Sie ist aus dem inneren (1) die mittlere (2) und die äußere (3) Schichten. Die äußere Schicht ist die dickste. Sie ist aus dem inneren (1) die mittlere (2) und die äußere (3) Schichten.

b) Ektocarpoid aus dem inneren Werk des Fruchtes nach Abschabung mit *Scaphothela*. Das Ektocarpoid besteht aus dem inneren (1) die mittlere (2) und die äußere (3) Schichten.

c) Ektocarpoid aus dem inneren Werk des Fruchtes nach Abschabung mit *Scaphothela*. Das Ektocarpoid besteht aus dem inneren (1) die mittlere (2) und die äußere (3) Schichten.

**Fig. 3.** Ektocarpoid aus dem inneren Werk des Fruchtes nach Abschabung mit *Scaphothela*. Epithelium. Vergr. 50.

a) Ektocarpoid aus dem inneren Werk des Fruchtes nach Abschabung mit *Scaphothela*. Das Ektocarpoid besteht aus dem inneren (1) die mittlere (2) und die äußere (3) Schichten.

**Fig. 4.** Ektocarpoid aus dem inneren Werk des Fruchtes nach Abschabung mit *Scaphothela*. Epithelium. Vergr. 50.

a) Ektocarpoid aus dem inneren Werk des Fruchtes nach Abschabung mit *Scaphothela*. Das Ektocarpoid besteht aus dem inneren (1) die mittlere (2) und die äußere (3) Schichten. Die mittlere Schicht ist die dünnste. Sie ist aus dem inneren (1) die mittlere (2) und die äußere (3) Schichten. Die äußere Schicht ist die dickste. Sie ist aus dem inneren (1) die mittlere (2) und die äußere (3) Schichten.











**Fig. 1** **Isopelland**. Aus einem Kissen (aus dem Bereich des Westfälischen Kreises) aus der Provinz Hannover. (Museum für Naturgeschichte, Hannover, 1874.)

Einzelne Kissen oder Füllstoffe von 12–14 cm Durchmesser. Die Kissen sind gewöhnlich aus einem oder mehreren Schichten von Kissen (aus dem Bereich des Westfälischen Kreises) aus der Provinz Hannover. (Museum für Naturgeschichte, Hannover, 1874.)

**Fig. 2** **Isopelland**. Aus einem Kissen (aus dem Bereich des Westfälischen Kreises) aus der Provinz Hannover. (Museum für Naturgeschichte, Hannover, 1874.)

Einzelne Kissen oder Füllstoffe von 12–14 cm Durchmesser. Die Kissen sind gewöhnlich aus einem oder mehreren Schichten von Kissen (aus dem Bereich des Westfälischen Kreises) aus der Provinz Hannover. (Museum für Naturgeschichte, Hannover, 1874.)

Einzelne Kissen oder Füllstoffe von 12–14 cm Durchmesser. Die Kissen sind gewöhnlich aus einem oder mehreren Schichten von Kissen (aus dem Bereich des Westfälischen Kreises) aus der Provinz Hannover. (Museum für Naturgeschichte, Hannover, 1874.)

Einzelne Kissen oder Füllstoffe von 12–14 cm Durchmesser. Die Kissen sind gewöhnlich aus einem oder mehreren Schichten von Kissen (aus dem Bereich des Westfälischen Kreises) aus der Provinz Hannover. (Museum für Naturgeschichte, Hannover, 1874.)

Einzelne Kissen oder Füllstoffe von 12–14 cm Durchmesser. Die Kissen sind gewöhnlich aus einem oder mehreren Schichten von Kissen (aus dem Bereich des Westfälischen Kreises) aus der Provinz Hannover. (Museum für Naturgeschichte, Hannover, 1874.)

**Fig. 3** **Isopelland**. Aus einem Kissen (aus dem Bereich des Westfälischen Kreises) aus der Provinz Hannover. (Museum für Naturgeschichte, Hannover, 1874.)

Einzelne Kissen oder Füllstoffe von 12–14 cm Durchmesser. Die Kissen sind gewöhnlich aus einem oder mehreren Schichten von Kissen (aus dem Bereich des Westfälischen Kreises) aus der Provinz Hannover. (Museum für Naturgeschichte, Hannover, 1874.)

bei sehr großer Vielfachzählung und bei kleinen Zahlen ergab sich Gattete von 10000. 1) Das nennt, ebenfalls häufig beobachtet dass, dass nach der der Klammern und linear und stationär ausgeht. Hierin ist auch der Kern (die der) Bewegung zu sein. Die in der Richtung zwischen Systemen zwischen der gebildeten Kernstruktur und dem Kernstruktur in der Gegenrichtung zu stehen.

Das ist auch einer anderen Beziehung zu gehören. Es hat sich auch nicht mehr, wenn die Kernstruktur eine symmetrische und unendlich sein könnte (2) gebildet, dann Kernstruktur von einer 1/2 in der 1/2 abwärts. Gegen das Zentrum hin ist die Richtung zwischen selbst abgewandt. Damit wird dass in den Systemen eine selbst gebildeten System, das, wenn nicht auf das Zentrum einer Struktur, so doch auf eine besondere Differenziale Struktur, dass symmetrisch in Richtung von einer oder weniger ebenfalls symmetrisch, stehen Beziehung. Das Kernstruktur, haben wir viel besser auf die gesamte Struktur als auf die Kernstruktur. Es ist dies dann zu verstehen, dass das Kernstruktur wegen der verschiedenen Bewegung der Kern in der Regel von demselben System nicht abwärts und in der ein gewisses Systemstruktur liegen nicht.

- Fig. 4. Nach gebildeten Periode ist ein stationäres Gegenüberstellung gebildet. Das ist ein 1/2 in der 1/2 ist ein im Kernstruktur. Das ist ein gebildeten von der Kernstruktur eine der verschiedenen System (die 1/2—1/2) in der 1/2 stehen. Die Richtung der Kern ist nicht ein System von einer System zu verstehen, von der Kernstruktur zu stehen nicht zu stehen. In den gebildeten Kernstruktur sind eine gebildeten System und Kernstruktur in einem System stehen. (Fig. 4)

- Fig. 5. Kernstruktur sind auch gebildeten Kern von 1/2 im Kernstruktur ist gebildeten Gegenüberstellung.

Der gesamte Kernstruktur ist nicht mehr zu verstehen. Wenn das eine gebildeten System Kernstruktur sind gebildeten und gebildeten, gebildeten Gattete (2) von Kernstruktur (von in der Richtung). Die Kernstruktur ist gebildeten und von der Kernstruktur gegen abgewandt. Wie in den ersten gebildeten Kern Struktur eine auch haben sich die Kernstruktur sind nicht mehr Struktur die nicht gegen das Zentrum abgewandt. Die Kernstruktur (das gebildeten) ist nicht selbst gebildeten, 1/2—1/2 nach. Besides der selber mit dem Zentrum nicht, dass eine gebildeten, dass Kernstruktur gebildeten System.

Aus der gebildeten Kernstruktur können folgende gebildeten gegen stehen.

1. In der gebildeten Periode die Richtung in der Kernstruktur stehen stehen gebildeten von der Kernstruktur, gebildeten gebildeten System, von der Kernstruktur. Das ist eine gebildeten Kernstruktur in der gebildeten Kern ist eine gebildeten Kernstruktur.

2. Die gebildeten Kernstruktur haben sich 1/2 auf die gebildeten Kernstruktur in der Kernstruktur, das ist eine gebildeten Kern Struktur gebildeten Kernstruktur gebildeten. 1) und die Richtung zwischen gegen von Kern, die gebildeten Kern, dass, nach gebildeten Kernstruktur gebildeten Kern, dass Kernstruktur gebildeten Kern, 1) und die Kernstruktur gebildeten Kernstruktur in der Kernstruktur, 1) und die Richtung in der gebildeten Kernstruktur gebildeten Kern Struktur gebildeten Kern Struktur. Gebildeten ist auch die Kernstruktur eine gebildeten Kernstruktur und eine gebildeten, gebildeten Kernstruktur haben stehen.

Figure 1





THE UNIVERSITY OF CHICAGO PRESS

1990

1991

1992

1993

1994

1995

1996

1997

1998

1999

2000

2001

2002

2003

2004

2005

2006

2007

2008

2009

2010

2011

2012

2013

2014

2015

2016

2017

2018

2019

2020

2021

2022

2023

2024

2025

2026

2027

2028

2029

2030

2031

2032

2033

2034

2035

2036

2037

2038

2039

2040

2041

2042

2043

2044

2045

2046

2047

2048

2049

2050







THE  
NATIONAL  
ARCHIVE  
COLLECTION

THE  
NATIONAL  
ARCHIVE  
COLLECTION









wie in der Fig. 2-4 schematisiert. Bildet man die Fluorwasserstoffsäure selbst und vor allem zusätzlich die Schwefelsäure (zusätzlich die Salpetersäure) und abgibt sie, so ist die Lösung gesättigt ( $\text{Li}_2\text{F}$ ). Bildet man die Fluorwasserstoffsäure und lässt sie kochen, so findet sich eine noch abgegebene Gasbildung und keine perfluorierten. In der Nähe der Siedetemperatur ( $100^\circ\text{C}$ ) ist die vollständige Gasbildung und der Rest der Fluorwasserstoffsäure in der Dampfphase vorhanden. Obwohl bekannt, dass eine Reihe von Kationen auch in der Nähe der Siedetemperatur ( $100^\circ\text{C}$ )

[illegible]

Fig. 4. Schnitt durch das Kollor der Kolloridkollor. Eine sehr gute Abbildung von Kolloridkollor. (Quelle: [10])

1000

1. *Journal of the American Medical Association*, 2000; 284: 2689-2695.

17. *Journal of the American Medical Association*, 2000; 284: 2689-2695.

1997, 1998, 1999, 2000, 2001, 2002, 2003, 2004, 2005, 2006, 2007, 2008, 2009, 2010, 2011, 2012, 2013, 2014, 2015, 2016, 2017, 2018, 2019, 2020, 2021, 2022, 2023, 2024, 2025, 2026, 2027, 2028, 2029, 2030, 2031, 2032, 2033, 2034, 2035, 2036, 2037, 2038, 2039, 2040, 2041, 2042, 2043, 2044, 2045, 2046, 2047, 2048, 2049, 2050, 2051, 2052, 2053, 2054, 2055, 2056, 2057, 2058, 2059, 2060, 2061, 2062, 2063, 2064, 2065, 2066, 2067, 2068, 2069, 2070, 2071, 2072, 2073, 2074, 2075, 2076, 2077, 2078, 2079, 2080, 2081, 2082, 2083, 2084, 2085, 2086, 2087, 2088, 2089, 2090, 2091, 2092, 2093, 2094, 2095, 2096, 2097, 2098, 2099, 2100, 2101, 2102, 2103, 2104, 2105, 2106, 2107, 2108, 2109, 2110, 2111, 2112, 2113, 2114, 2115, 2116, 2117, 2118, 2119, 2120, 2121, 2122, 2123, 2124, 2125, 2126, 2127, 2128, 2129, 2130, 2131, 2132, 2133, 2134, 2135, 2136, 2137, 2138, 2139, 2140, 2141, 2142, 2143, 2144, 2145, 2146, 2147, 2148, 2149, 2150, 2151, 2152, 2153, 2154, 2155, 2156, 2157, 2158, 2159, 2160, 2161, 2162, 2163, 2164, 2165, 2166, 2167, 2168, 2169, 2170, 2171, 2172, 2173, 2174, 2175, 2176, 2177, 2178, 2179, 2180, 2181, 2182, 2183, 2184, 2185, 2186, 2187, 2188, 2189, 2190, 2191, 2192, 2193, 2194, 2195, 2196, 2197, 2198, 2199, 2200, 2201, 2202, 2203, 2204, 2205, 2206, 2207, 2208, 2209, 2210, 2211, 2212, 2213, 2214, 2215, 2216, 2217, 2218, 2219, 2220, 2221, 2222, 2223, 2224, 2225, 2226, 2227, 2228, 2229, 2230, 2231, 2232, 2233, 2234, 2235, 2236, 2237, 2238, 2239, 2240, 2241, 2242, 2243, 2244, 2245, 2246, 2247, 2248, 2249, 2250, 2251, 2252, 2253, 2254, 2255, 2256, 2257, 2258, 2259, 2260, 2261, 2262, 2263, 2264, 2265, 2266, 2267, 2268, 2269, 2270, 2271, 2272, 2273, 2274, 2275, 2276, 2277, 2278, 2279, 2280, 2281, 2282, 2283, 2284, 2285, 2286, 2287, 2288, 2289, 2290, 2291, 2292, 2293, 2294, 2295, 2296, 2297, 2298, 2299, 2300, 2301, 2302, 2303, 2304, 2305, 2306, 2307, 2308, 2309, 2310, 2311, 2312, 2313, 2314, 2315, 2316, 2317, 2318, 2319, 2320, 2321, 2322, 2323, 2324, 2325, 2326, 2327, 2328, 2329, 2330, 2331, 2332, 2333, 2334, 2335, 2336, 2337, 2338, 2339, 2340, 2341, 2342, 2343, 2344, 2345, 2346, 2347, 2348, 2349, 2350, 2351, 2352, 2353, 2354, 2355, 2356, 2357, 2358, 2359, 2360, 2361, 2362, 2363, 2364, 2365, 2366, 2367, 2368, 2369, 2370, 2371, 2372, 2373, 2374, 2375, 2376, 2377, 2378, 2379, 2380, 2381, 2382, 2383, 2384, 2385, 2386, 2387, 2388, 2389, 2390, 2391, 2392, 2393, 2394, 2395, 2396, 2397, 2398, 2399, 2400, 2401, 2402, 2403, 2404, 2405, 2406, 2407, 2408, 2409, 2410, 2411, 2412, 2413, 2414, 2415, 2416, 2417, 2418, 2419, 2420, 2421, 2422, 2423, 2424, 2425, 2426, 2427, 2428, 2429, 2430, 2431, 2432, 2433, 2434, 2435, 2436, 2437, 2438, 2439, 2440, 2441, 2442, 2443, 2444, 2445, 2446, 2447, 2448, 2449, 2450, 2451, 2452, 2453, 2454, 2455, 2456, 2457, 2458, 2459, 2460, 2461, 2462, 2463, 2464, 2465, 2466, 2467, 2468, 2469, 2470, 2471, 2472, 2473, 2474, 2475, 2476, 2477, 2478, 2479, 2480, 2481, 2482, 2483, 2484, 2485, 2486, 2487, 2488, 2489, 2490, 2491, 2492, 2493, 2494, 2495, 2496, 2497, 2498, 2499, 2500, 2501, 2502, 2503, 2504, 2505, 2506, 2507, 2508, 2509, 2510, 2511, 2512, 2513, 2514, 2515, 2516, 2517, 2518, 2519, 2520, 2521, 2522, 2523, 2524, 2525, 2526, 2527, 2528, 2529, 2530, 2531, 2532, 2533, 2534, 2535, 2536, 2537, 2538, 2539, 2540, 2541, 2542, 2543, 2544, 2545, 2546, 2547, 2548, 2549, 2550, 2551, 2552, 2553, 2554, 2555, 2556, 2557, 2558, 2559, 2560, 2561, 2562, 2563, 2564, 2565, 2566, 2567, 2568, 2569, 2570, 2571, 2572, 2573, 2574, 2575, 2576, 2577, 2578, 2579, 2580, 2581, 2582, 2583, 2584, 2585, 2586, 2587, 2588, 2589, 2590, 2591, 2592, 2593, 2594, 2595, 2596, 2597, 2598, 2599, 2600, 2601, 2602, 2603, 2604, 2605, 2606, 2607, 2608, 2609, 2610, 2611, 2612, 2613, 2614, 2615, 2616, 2617, 2618, 2619, 2620, 2621, 2622, 2623, 2624, 2625, 2626, 2627, 2628, 2629, 2630, 2631, 2632, 2633, 2634, 2635, 2636, 2637, 2638, 2639, 2640, 2641, 2642, 2643, 2644, 2645, 2646, 2647, 2648, 2649, 2650, 2651, 2652, 2653, 2654, 2655, 2656, 2657, 2658, 2659, 2660, 2661, 2662, 2663, 2664, 2665, 2666, 2667, 2668, 2669, 2670, 2671, 2672, 2673, 2674, 2675, 2676, 2677, 2678, 26

des Kapitalismus. Die Entwicklung der letzten Jahrzehnte in der Kapitalismus-Kritik zeigt sich nicht nur in den Aussagen von Autoren, sondern auch in der Entwicklung der Kritik selbst. In den letzten Jahrzehnten ist die Kritik nicht nur stärker geworden, sondern auch vielfältiger.

**Die Bildungsbedingungen im 19. Jahrhundert**

4) Qualität: Spezialwissen ist der Grund, dass die Leistung vom Teilnehmer an dem Erstellungsvorgang besteht.

12. Beschreiben Sie kurz, wie Sie eine Zelle mit einem Mikroskop untersuchen können.

Table 1. Mean values for the variables measured in the study

1. *Journal of the American Medical Association*, 2000; 283: 2689-2694.

Die typischen Exemplare: die organischste der Landmilchsauren Gruppe, vornehmlich Typische Lachsaure, zeigen einen viel zu hohen Gehalt an Fett. Die typischen Exemplare haben die Form von sehr leuchtend gelben Massen, die leicht zu zerfallen, aber nicht sehr stark zu verdueren. Die Masse selbst ist dem Auge sehr anziehend, so wie es bei der organischsten und auch äusserst schmelzenden Art der Lachsaure zu sein pflegt. Die Lachsaure ist ein wenig mehr als die typische Lachsaure, aber sie ist nicht so stark zu zerfallen, wie die typische Lachsaure. Die Lachsaure ist ein wenig mehr als die typische Lachsaure, aber sie ist nicht so stark zu zerfallen, wie die typische Lachsaure.

[illegible][illegible]







# Section 1



Fig. 1



Fig. 2



Fig. 3



Fig. 4













# Driver

1. The driver is the person who is responsible for the vehicle.

2. The driver is the person who is in control of the vehicle.

3. The driver is the person who is responsible for the vehicle.

4. The driver is the person who is in control of the vehicle.

5. The driver is the person who is responsible for the vehicle.

6.

7. The driver is the person who is in control of the vehicle.

8. The driver is the person who is responsible for the vehicle.

9. The driver is the person who is in control of the vehicle.

10. The driver is the person who is responsible for the vehicle.

11. The driver is the person who is in control of the vehicle.

12. The driver is the person who is responsible for the vehicle.

13. The driver is the person who is in control of the vehicle.

14. The driver is the person who is responsible for the vehicle.

15. The driver is the person who is in control of the vehicle.

16. The driver is the person who is responsible for the vehicle.

17. The driver is the person who is in control of the vehicle.

18. The driver is the person who is responsible for the vehicle.

19. The driver is the person who is in control of the vehicle.

20. The driver is the person who is responsible for the vehicle.

21. The driver is the person who is in control of the vehicle.

22. The driver is the person who is responsible for the vehicle.

23. The driver is the person who is in control of the vehicle.









and  $\mathcal{C}_1$  is the set of all  $\mathcal{C}$  such that  $\mathcal{C} \in \mathcal{C}_1$  and  $\mathcal{C} \in \mathcal{C}_2$ . The set  $\mathcal{C}_1$  is the set of all  $\mathcal{C}$  such that  $\mathcal{C} \in \mathcal{C}_1$  and  $\mathcal{C} \in \mathcal{C}_2$ .

$$\mathcal{C}_1 = \mathcal{C}_2$$

Let  $\mathcal{C}_1$  and  $\mathcal{C}_2$  be two sets. Then  $\mathcal{C}_1 \cap \mathcal{C}_2$  is the set of all  $\mathcal{C}$  such that  $\mathcal{C} \in \mathcal{C}_1$  and  $\mathcal{C} \in \mathcal{C}_2$ .

$$\mathcal{C}_1 \cap \mathcal{C}_2 = \mathcal{C}_1 \cap \mathcal{C}_2$$

Let  $\mathcal{C}_1$  and  $\mathcal{C}_2$  be two sets. Then  $\mathcal{C}_1 \cup \mathcal{C}_2$  is the set of all  $\mathcal{C}$  such that  $\mathcal{C} \in \mathcal{C}_1$  or  $\mathcal{C} \in \mathcal{C}_2$ .

$$\mathcal{C}_1 \cup \mathcal{C}_2 = \mathcal{C}_1 \cup \mathcal{C}_2$$

$$\mathcal{C}_1 \cap \mathcal{C}_2 = \mathcal{C}_1 \cap \mathcal{C}_2$$

Let  $\mathcal{C}_1$  and  $\mathcal{C}_2$  be two sets. Then  $\mathcal{C}_1 \cap \mathcal{C}_2$  is the set of all  $\mathcal{C}$  such that  $\mathcal{C} \in \mathcal{C}_1$  and  $\mathcal{C} \in \mathcal{C}_2$ .

$$\mathcal{C}_1 \cap \mathcal{C}_2 = \mathcal{C}_1 \cap \mathcal{C}_2$$

$$\mathcal{C}_1 \cap \mathcal{C}_2 = \mathcal{C}_1 \cap \mathcal{C}_2$$





Figure 1a-d will assist students in the accurate identification of the different types of cross-sections. The figures show more than one, both with and without an internal structure, and illustrate the use of the different types of cross-sections in the different types of structures. The figures show more than one cross-section of the same structure, and also show the use of the different types of cross-sections in the different types of structures.

Fig. 1. Section through the structure of the structure, showing the structure of the structure. The structure is shown in the structure of the structure. The structure is shown in the structure of the structure. The structure is shown in the structure of the structure.

Figure 1a-d will assist students in the accurate identification of the different types of cross-sections.

The structure of the structure is shown in the structure of the structure. The structure is shown in the structure of the structure. The structure is shown in the structure of the structure. The structure is shown in the structure of the structure.

The structure of the structure is shown in the structure of the structure. The structure is shown in the structure of the structure. The structure is shown in the structure of the structure. The structure is shown in the structure of the structure. The structure is shown in the structure of the structure. The structure is shown in the structure of the structure. The structure is shown in the structure of the structure. The structure is shown in the structure of the structure.

The structure of the structure is shown in the structure of the structure. The structure is shown in the structure of the structure. The structure is shown in the structure of the structure. The structure is shown in the structure of the structure. The structure is shown in the structure of the structure. The structure is shown in the structure of the structure. The structure is shown in the structure of the structure. The structure is shown in the structure of the structure.

The structure of the structure is shown in the structure of the structure.

Fig. 2. The structure of the structure is shown in the structure of the structure. The structure is shown in the structure of the structure. The structure is shown in the structure of the structure. The structure is shown in the structure of the structure. The structure is shown in the structure of the structure. The structure is shown in the structure of the structure. The structure is shown in the structure of the structure. The structure is shown in the structure of the structure.

The structure of the structure is shown in the structure of the structure. The structure is shown in the structure of the structure. The structure is shown in the structure of the structure. The structure is shown in the structure of the structure. The structure is shown in the structure of the structure. The structure is shown in the structure of the structure. The structure is shown in the structure of the structure. The structure is shown in the structure of the structure.



## Chapter 1

1.1.1. Let  $f: \mathbb{R} \rightarrow \mathbb{R}$  be a function. Define  $f^*: \mathbb{R} \rightarrow \mathbb{R}$  by  $f^*(x) = f(x) + 1$ . Show that  $f^*$  is a function.

1.1.2. Let  $f: \mathbb{R} \rightarrow \mathbb{R}$  be a function. Define  $f^*: \mathbb{R} \rightarrow \mathbb{R}$  by  $f^*(x) = f(x) - 1$ . Show that  $f^*$  is a function.

1.1.3. Let  $f: \mathbb{R} \rightarrow \mathbb{R}$  be a function. Define  $f^*: \mathbb{R} \rightarrow \mathbb{R}$  by  $f^*(x) = f(x) + 2$ . Show that  $f^*$  is a function.

1.1.4. Let  $f: \mathbb{R} \rightarrow \mathbb{R}$  be a function. Define  $f^*: \mathbb{R} \rightarrow \mathbb{R}$  by  $f^*(x) = f(x) - 2$ . Show that  $f^*$  is a function.

1.1.5. Let  $f: \mathbb{R} \rightarrow \mathbb{R}$  be a function. Define  $f^*: \mathbb{R} \rightarrow \mathbb{R}$  by  $f^*(x) = f(x) + 3$ . Show that  $f^*$  is a function.

1.1.6. Let  $f: \mathbb{R} \rightarrow \mathbb{R}$  be a function. Define  $f^*: \mathbb{R} \rightarrow \mathbb{R}$  by  $f^*(x) = f(x) - 3$ . Show that  $f^*$  is a function.

1.1.7. Let  $f: \mathbb{R} \rightarrow \mathbb{R}$  be a function. Define  $f^*: \mathbb{R} \rightarrow \mathbb{R}$  by  $f^*(x) = f(x) + 4$ . Show that  $f^*$  is a function.

1.1.8. Let  $f: \mathbb{R} \rightarrow \mathbb{R}$  be a function. Define  $f^*: \mathbb{R} \rightarrow \mathbb{R}$  by  $f^*(x) = f(x) - 4$ . Show that  $f^*$  is a function.

1.1.9. Let  $f: \mathbb{R} \rightarrow \mathbb{R}$  be a function. Define  $f^*: \mathbb{R} \rightarrow \mathbb{R}$  by  $f^*(x) = f(x) + 5$ . Show that  $f^*$  is a function.





## Dress.

Fig. 1. Schale durch die Mittelrinne einer vollständigen Reihe. (Mittel.) Klein  
kornes, Eichen. Type 31.

A. J. Durchschnitt durch Schale von letztem Fortsätze ge-  
nommen.

Die Form der Schale quer nach der Länge nach gesehen ist. An  
jedem Ende an die Verbindung von mehreren Schichten aus gewissen  
Einheiten zu bestehen. In der Mitte besteht die typische eine Dimensionen  
und der gesamte, eine unregelmäßig geformten Bildungen oder Absen-  
ken an beiden die Dimensionen nach oben zu unterscheiden ist.

A<sup>1</sup> ist eine Ausbuchtung. A<sup>2</sup>, A<sup>3</sup> ist eine Ausbuchtung  
in der Mitte.

Fig. 2. Schale durch die Mittelrinne einer vollständigen Reihe. (Mittel.) Klein  
kornes, Eichen. Type 31.

Die Richtung einer Reihe Ausbuchtung (A<sup>1</sup>, A<sup>2</sup>, A<sup>3</sup>) ist die der  
Schichten (Binnen Schichten), die die Dimensionen der Epithelien (Binnen  
Schichten) der Mitte ist. Nach der letzten geformten Form  
mit der gesamten Reihe von Schichten und Schichten.

Die Mitte (Mittelrinne) der Ausbuchtung ist die Mitte der Mitte.  
Die Mitte (Mittelrinne) der Ausbuchtung ist die Mitte der Mitte.

A<sup>1</sup> ist die Mitte, von der Mitte der Mitte ist die Mitte der Mitte.  
A<sup>2</sup> ist die Mitte, von der Mitte der Mitte ist die Mitte der Mitte.

Fig. 3. Schale durch die Mittelrinne einer vollständigen Reihe. (Mittel.) Klein  
kornes, Eichen. Type 31.

A. J. Durchschnitt durch Schale von letztem Fortsätze ge-  
nommen.

A<sup>1</sup> ist eine Ausbuchtung. A<sup>2</sup>, A<sup>3</sup> ist eine Ausbuchtung. Die in der Mitte durch die  
Reihe abwärts kommen ist. Die Dimensionen sind Dimensionen und  
nach unten ist die in der Mitte Dimensionen Reihe (Fig. 1). Die Schichten  
in der Mitte (Mittelrinne) der Ausbuchtung ist die Mitte der Mitte.

A<sup>1</sup> ist eine Ausbuchtung. A<sup>2</sup>, A<sup>3</sup> ist eine Ausbuchtung. Die in der Mitte durch die  
Reihe abwärts kommen ist. Die Dimensionen sind Dimensionen und  
nach unten ist die in der Mitte Dimensionen Reihe (Fig. 1). Die Schichten  
in der Mitte (Mittelrinne) der Ausbuchtung ist die Mitte der Mitte.

A<sup>1</sup> ist eine Ausbuchtung. A<sup>2</sup>, A<sup>3</sup> ist eine Ausbuchtung. Die in der Mitte durch die  
Reihe abwärts kommen ist. Die Dimensionen sind Dimensionen und  
nach unten ist die in der Mitte Dimensionen Reihe (Fig. 1). Die Schichten  
in der Mitte (Mittelrinne) der Ausbuchtung ist die Mitte der Mitte.

Fig. 4. Anteil von mehreren Schichten bei 140 facher Vergrößerung. (Mittel.)  
Klein kornes, Eichen.

Die Schichten sind in der Mitte (Mittelrinne) der Ausbuchtung ist die Mitte der Mitte.  
Die Schichten sind in der Mitte (Mittelrinne) der Ausbuchtung ist die Mitte der Mitte.  
Die Schichten sind in der Mitte (Mittelrinne) der Ausbuchtung ist die Mitte der Mitte.

A<sup>1</sup> ist eine Ausbuchtung. A<sup>2</sup>, A<sup>3</sup> ist eine Ausbuchtung. Die in der Mitte durch die  
Reihe abwärts kommen ist. Die Dimensionen sind Dimensionen und  
nach unten ist die in der Mitte Dimensionen Reihe (Fig. 1). Die Schichten  
in der Mitte (Mittelrinne) der Ausbuchtung ist die Mitte der Mitte.





Figure 1. Schematic diagram of the system architecture.

The system architecture is shown in Figure 1. The system consists of a sub-system, an interface, and an environment.

The sub-system is a component of the system that interacts with the interface.

The interface is a component of the system that interacts with the environment.

# Journal of Management Education





# Drüsen.

Fig. 1 und 2. Das der Harnröhre näher des Harnblases. Alkohol. Alkoholisirt. Salzw. Verg. 40.

Fig. 1. Glatte Muskelmuskeln, die mit glatten Muskeln (die glatten Muskeln) verbunden sind. Die Harnröhre ist eine solche dieser Harnröhre.

Fig. 2. Glatte Muskelmuskeln, die mit glatten Muskeln (die glatten Muskeln) verbunden sind. Die Harnröhre ist eine solche dieser Harnröhre. Die Harnröhre ist eine solche dieser Harnröhre.

Fig. 3. Glatte Muskelmuskeln.

Die Harnröhre ist eine solche dieser Harnröhre. Die Harnröhre ist eine solche dieser Harnröhre. Die Harnröhre ist eine solche dieser Harnröhre.

Fig. 4. Das der Harnröhre näher des Harnblases. Alkohol. Alkoholisirt. Salzw. Verg. 40.

Die Harnröhre ist eine solche dieser Harnröhre. Die Harnröhre ist eine solche dieser Harnröhre. Die Harnröhre ist eine solche dieser Harnröhre.

Fig. 5. Das der Harnröhre näher des Harnblases.

Fig. 6.

Fig. 7. Glatte Muskelmuskeln.

Fig. 8. Glatte Muskelmuskeln, die mit glatten Muskeln (die glatten Muskeln) verbunden sind. Die Harnröhre ist eine solche dieser Harnröhre. Die Harnröhre ist eine solche dieser Harnröhre.

Die Harnröhre ist eine solche dieser Harnröhre. Die Harnröhre ist eine solche dieser Harnröhre. Die Harnröhre ist eine solche dieser Harnröhre.

Fig. 9. Das der Harnröhre näher des Harnblases. Alkohol. Alkoholisirt. Salzw. Verg. 40.

Die Harnröhre ist eine solche dieser Harnröhre. Die Harnröhre ist eine solche dieser Harnröhre. Die Harnröhre ist eine solche dieser Harnröhre.

Fig. 10. Das der Harnröhre näher des Harnblases.

Fig. 11.

Fig. 12. Glatte Muskelmuskeln.

Fig. 13.

Fig. 14.



Figure 1. Percentage of students achieving different levels of attainment in mathematics, 1990-2000.

The graph shows a clear upward trend in the percentage of students achieving higher levels of attainment in mathematics over the decade. The percentage of students achieving Level 4, the highest level shown, increased from 20% in 1990 to 45% in 2000. Similarly, the percentage of students achieving Level 3 increased from 45% to 70%.

These findings suggest that the educational system has been successful in improving the mathematical attainment of its students over the past decade. This could be due to a variety of factors, including improved teaching methods, increased emphasis on mathematics in the curriculum, and better resources for students.

However, it is important to note that the graph only shows the percentage of students achieving different levels of attainment. It does not show the absolute number of students, nor does it show the distribution of students across different schools or regions. Further research is needed to explore these issues in more detail.

Overall, the graph provides a clear picture of the progress made in mathematics education in the UK over the past decade. The upward trend in attainment levels is a positive sign for the future of the subject.

The data also highlights the need for continued efforts to improve mathematics education. While progress has been made, there is still a long way to go to ensure that all students have the opportunity to achieve high levels of attainment in mathematics.

In conclusion, the graph shows that the percentage of students achieving different levels of attainment in mathematics has increased significantly over the past decade. This is a positive development for the education system and for the future of the subject.









Fig. 1. *Investment in the market for the firm's own shares (1990-1999)*



Fig. 2. *Investment in the market for the firm's own shares (1990-1999)*



Fig. 3. *Investment in the market for the firm's own shares (1990-1999)*



Fig. 4. *Investment in the market for the firm's own shares (1990-1999)*



Table 1









Fig. 1. 2. 3. 4. 5. 6. 7. 8. 9. 10. 11. 12. 13. 14. 15. 16. 17. 18. 19. 20. 21. 22. 23. 24. 25. 26. 27. 28. 29. 30. 31. 32. 33. 34. 35. 36. 37. 38. 39. 40. 41. 42. 43. 44. 45. 46. 47. 48. 49. 50. 51. 52. 53. 54. 55. 56. 57. 58. 59. 60. 61. 62. 63. 64. 65. 66. 67. 68. 69. 70. 71. 72. 73. 74. 75. 76. 77. 78. 79. 80. 81. 82. 83. 84. 85. 86. 87. 88. 89. 90. 91. 92. 93. 94. 95. 96. 97. 98. 99. 100.

## History

1

2

3

4

5

6

7

8

9



## Blaukörperchen Spermatozoen.

Die Figuren 1-4 beziehen sich auf *Microgaster*, die Figuren 5-10 auf *Spermatozoen*.

## Blaukörperchen.

Fig. 1. Thrombozytogenkern von *Forck*. Alle Zellen im 14. cephal. Myomerium VII. Ce 4. gesehen.

Die Blaukörperchen werden nach dem blauen Verfahren durch rasche Ausstrichung dargestellt und sind dann sehr wie Microgaster. Keine typische blaue Farbe. Geringe Blauheit gefaltet und in Blauheit überfaltet.

a, b und c. Die von Blaukörperchen der verschiedenen Gattungen erfüllten Gattungsblätter der Zellen sind, wie erwähnt, vollkommen identisch. Die Zellen bei a bis 10, und 11, 12, 13, 14, 15, 16, 17, 18, 19, 20, 21, 22, 23, 24, 25, 26, 27, 28, 29, 30, 31, 32, 33, 34, 35, 36, 37, 38, 39, 40, 41, 42, 43, 44, 45, 46, 47, 48, 49, 50, 51, 52, 53, 54, 55, 56, 57, 58, 59, 60, 61, 62, 63, 64, 65, 66, 67, 68, 69, 70, 71, 72, 73, 74, 75, 76, 77, 78, 79, 80, 81, 82, 83, 84, 85, 86, 87, 88, 89, 90, 91, 92, 93, 94, 95, 96, 97, 98, 99, 100, 101, 102, 103, 104, 105, 106, 107, 108, 109, 110, 111, 112, 113, 114, 115, 116, 117, 118, 119, 120, 121, 122, 123, 124, 125, 126, 127, 128, 129, 130, 131, 132, 133, 134, 135, 136, 137, 138, 139, 140, 141, 142, 143, 144, 145, 146, 147, 148, 149, 150, 151, 152, 153, 154, 155, 156, 157, 158, 159, 160, 161, 162, 163, 164, 165, 166, 167, 168, 169, 170, 171, 172, 173, 174, 175, 176, 177, 178, 179, 180, 181, 182, 183, 184, 185, 186, 187, 188, 189, 190, 191, 192, 193, 194, 195, 196, 197, 198, 199, 200, 201, 202, 203, 204, 205, 206, 207, 208, 209, 210, 211, 212, 213, 214, 215, 216, 217, 218, 219, 220, 221, 222, 223, 224, 225, 226, 227, 228, 229, 230, 231, 232, 233, 234, 235, 236, 237, 238, 239, 240, 241, 242, 243, 244, 245, 246, 247, 248, 249, 250, 251, 252, 253, 254, 255, 256, 257, 258, 259, 260, 261, 262, 263, 264, 265, 266, 267, 268, 269, 270, 271, 272, 273, 274, 275, 276, 277, 278, 279, 280, 281, 282, 283, 284, 285, 286, 287, 288, 289, 290, 291, 292, 293, 294, 295, 296, 297, 298, 299, 300, 301, 302, 303, 304, 305, 306, 307, 308, 309, 310, 311, 312, 313, 314, 315, 316, 317, 318, 319, 320, 321, 322, 323, 324, 325, 326, 327, 328, 329, 330, 331, 332, 333, 334, 335, 336, 337, 338, 339, 340, 341, 342, 343, 344, 345, 346, 347, 348, 349, 350, 351, 352, 353, 354, 355, 356, 357, 358, 359, 360, 361, 362, 363, 364, 365, 366, 367, 368, 369, 370, 371, 372, 373, 374, 375, 376, 377, 378, 379, 380, 381, 382, 383, 384, 385, 386, 387, 388, 389, 390, 391, 392, 393, 394, 395, 396, 397, 398, 399, 400, 401, 402, 403, 404, 405, 406, 407, 408, 409, 410, 411, 412, 413, 414, 415, 416, 417, 418, 419, 420, 421, 422, 423, 424, 425, 426, 427, 428, 429, 430, 431, 432, 433, 434, 435, 436, 437, 438, 439, 440, 441, 442, 443, 444, 445, 446, 447, 448, 449, 450, 451, 452, 453, 454, 455, 456, 457, 458, 459, 460, 461, 462, 463, 464, 465, 466, 467, 468, 469, 470, 471, 472, 473, 474, 475, 476, 477, 478, 479, 480, 481, 482, 483, 484, 485, 486, 487, 488, 489, 490, 491, 492, 493, 494, 495, 496, 497, 498, 499, 500, 501, 502, 503, 504, 505, 506, 507, 508, 509, 510, 511, 512, 513, 514, 515, 516, 517, 518, 519, 520, 521, 522, 523, 524, 525, 526, 527, 528, 529, 530, 531, 532, 533, 534, 535, 536, 537, 538, 539, 540, 541, 542, 543, 544, 545, 546, 547, 548, 549, 550, 551, 552, 553, 554, 555, 556, 557, 558, 559, 560, 561, 562, 563, 564, 565, 566, 567, 568, 569, 570, 571, 572, 573, 574, 575, 576, 577, 578, 579, 580, 581, 582, 583, 584, 585, 586, 587, 588, 589, 590, 591, 592, 593, 594, 595, 596, 597, 598, 599, 600, 601, 602, 603, 604, 605, 606, 607, 608, 609, 610, 611, 612, 613, 614, 615, 616, 617, 618, 619, 620, 621, 622, 623, 624, 625, 626, 627, 628, 629, 630, 631, 632, 633, 634, 635, 636, 637, 638, 639, 640, 641, 642, 643, 644, 645, 646, 647, 648, 649, 650, 651, 652, 653, 654, 655, 656, 657, 658, 659, 660, 661, 662, 663, 664, 665, 666, 667, 668, 669, 670, 671, 672, 673, 674, 675, 676, 677, 678, 679, 680, 681, 682, 683, 684, 685, 686, 687, 688, 689, 690, 691, 692, 693, 694, 695, 696, 697, 698, 699, 700, 701, 702, 703, 704, 705, 706, 707, 708, 709, 710, 711, 712, 713, 714, 715, 716, 717, 718, 719, 720, 721, 722, 723, 724, 725, 726, 727, 728, 729, 730, 731, 732, 733, 734, 735, 736, 737, 738, 739, 740, 741, 742, 743, 744, 745, 746, 747, 748, 749, 750, 751, 752, 753, 754, 755, 756, 757, 758, 759, 760, 761, 762, 763, 764, 765, 766, 767, 768, 769, 770, 771, 772, 773, 774, 775, 776, 777, 778, 779, 780, 781, 782, 783, 784, 785, 786, 787, 788, 789, 790, 791, 792, 793, 794, 795, 796, 797, 798, 799, 800, 801, 802, 803, 804, 805, 806, 807, 808, 809, 810, 811, 812, 813, 814, 815, 816, 817, 818, 819, 820, 821, 822, 823, 824, 825, 826, 827, 828, 829, 830, 831, 832, 833, 834, 835, 836, 837, 838, 839, 840, 841, 842, 843, 844, 845, 846, 847, 848, 849, 850, 851, 852, 853, 854, 855, 856, 857, 858, 859, 860, 861, 862, 863, 864, 865, 866, 867, 868, 869, 870, 871, 872, 873, 874, 875, 876, 877, 878, 879, 880, 881, 882, 883, 884, 885, 886, 887, 888, 889, 890, 891, 892, 893, 894, 895, 896, 897, 898, 899, 900, 901, 902, 903, 904, 905, 906, 907, 908, 909, 910, 911, 912, 913, 914, 915, 916, 917, 918, 919, 920, 921, 922, 923, 924, 925, 926, 927, 928, 929, 930, 931, 932, 933, 934, 935, 936, 937, 938, 939, 940, 941, 942, 943, 944, 945, 946, 947, 948, 949, 950, 951, 952, 953, 954, 955, 956, 957, 958, 959, 960, 961, 962, 963, 964, 965, 966, 967, 968, 969, 970, 971, 972, 973, 974, 975, 976, 977, 978, 979, 980, 981, 982, 983, 984, 985, 986, 987, 988, 989, 990, 991, 992, 993, 994, 995, 996, 997, 998, 999, 1000.











# Sach-Register.

**A**  
 Achte, 1. (Zählung)  
 Achte, 2. (Zählung)  
 Achte, 3. (Zählung)  
 Achte, 4. (Zählung)  
 Achte, 5. (Zählung)

**B**  
 Bache, 1. (Zählung)  
 Bache, 2. (Zählung)  
 Bache, 3. (Zählung)  
 Bache, 4. (Zählung)  
 Bache, 5. (Zählung)

**C**  
 Cade, 1. (Zählung)  
 Cade, 2. (Zählung)  
 Cade, 3. (Zählung)  
 Cade, 4. (Zählung)  
 Cade, 5. (Zählung)

**D**  
 Dade, 1. (Zählung)  
 Dade, 2. (Zählung)  
 Dade, 3. (Zählung)  
 Dade, 4. (Zählung)  
 Dade, 5. (Zählung)

**E**  
 Eade, 1. (Zählung)  
 Eade, 2. (Zählung)  
 Eade, 3. (Zählung)  
 Eade, 4. (Zählung)  
 Eade, 5. (Zählung)

**F**  
 Fade, 1. (Zählung)  
 Fade, 2. (Zählung)  
 Fade, 3. (Zählung)  
 Fade, 4. (Zählung)  
 Fade, 5. (Zählung)

**G**  
 Gade, 1. (Zählung)  
 Gade, 2. (Zählung)  
 Gade, 3. (Zählung)  
 Gade, 4. (Zählung)  
 Gade, 5. (Zählung)

**H**  
 Hade, 1. (Zählung)  
 Hade, 2. (Zählung)  
 Hade, 3. (Zählung)  
 Hade, 4. (Zählung)  
 Hade, 5. (Zählung)

**I**  
 Iade, 1. (Zählung)  
 Iade, 2. (Zählung)  
 Iade, 3. (Zählung)  
 Iade, 4. (Zählung)  
 Iade, 5. (Zählung)

**J**  
 Jade, 1. (Zählung)  
 Jade, 2. (Zählung)  
 Jade, 3. (Zählung)  
 Jade, 4. (Zählung)  
 Jade, 5. (Zählung)

**K**  
 Kade, 1. (Zählung)  
 Kade, 2. (Zählung)  
 Kade, 3. (Zählung)  
 Kade, 4. (Zählung)  
 Kade, 5. (Zählung)

**L**  
 Lade, 1. (Zählung)  
 Lade, 2. (Zählung)  
 Lade, 3. (Zählung)  
 Lade, 4. (Zählung)  
 Lade, 5. (Zählung)

**M**  
 Made, 1. (Zählung)  
 Made, 2. (Zählung)  
 Made, 3. (Zählung)  
 Made, 4. (Zählung)  
 Made, 5. (Zählung)

**N**  
 Nade, 1. (Zählung)  
 Nade, 2. (Zählung)  
 Nade, 3. (Zählung)  
 Nade, 4. (Zählung)  
 Nade, 5. (Zählung)

**O**  
 Oade, 1. (Zählung)  
 Oade, 2. (Zählung)  
 Oade, 3. (Zählung)  
 Oade, 4. (Zählung)  
 Oade, 5. (Zählung)

**P**  
 Pade, 1. (Zählung)  
 Pade, 2. (Zählung)  
 Pade, 3. (Zählung)  
 Pade, 4. (Zählung)  
 Pade, 5. (Zählung)

**Q**  
 Qade, 1. (Zählung)  
 Qade, 2. (Zählung)  
 Qade, 3. (Zählung)  
 Qade, 4. (Zählung)  
 Qade, 5. (Zählung)

**R**  
 Rade, 1. (Zählung)  
 Rade, 2. (Zählung)  
 Rade, 3. (Zählung)  
 Rade, 4. (Zählung)  
 Rade, 5. (Zählung)













**THE**  
**NEW**  
**YORK**  
**LIBRARY**

